

### บทที่ 3

#### ผลการวิจัย

ผลของ 6-deoxyclitriacetal ที่สกัดจากรากหนอนตายหยากต่อการหายใจและกระบวนการออกซิเดทีฟ ฟอสฟอริเลชันของไมโทคอนเดรียที่เตรียมจากตับหนูขาว

1. ผลของ 6-deoxyclitriacetal ในขนาดต่างๆ ที่มีต่ออัตราการใช้ออกซิเจนในระยะต่างๆ ของไมโทคอนเดรีย

1.1 เมื่อใช้ glutamate + malate เป็นตัวสเตรท

รูปที่ 22A แสดง control respiratory response ของไมโทคอนเดรียที่ใช้ในการทดลองในระยะแรกของ tracing 22A ส่วนประกอบที่สำคัญในการทำปฏิกิริยามีเพียงไมโทคอนเดรียใน incubation medium ที่มี glutamate + malate เป็นตัวสเตรทอยู่ในปริมาณที่มากเพียงพอที่จำเป็นต่อการใช้ในการทำปฏิกิริยา ระยะนี้อัตราการใช้ออกซิเจนของไมโทคอนเดรียยังต่ำอยู่ซึ่งมีค่าเท่ากับ  $22.25 \text{ n atoms O/ml/min}$  ระยะนี้คือ state 4 respiration (ส่วนประกอบที่สำคัญของปฏิกิริยาคือไมโทคอนเดรีย ออกซิเจนและตัวสเตรท) ระยะต่อไปของ oxygraph tracing เรียกว่า state 3 respiration เกิดจากการเติม ADP + Pi ลงไปจะทำให้เกิดปฏิกิริยาการสังเคราะห์ ATP ขึ้น ( $\text{ADP} + \text{Pi} \rightarrow \text{ATP}$ ) ซึ่งจะทำให้อัตราการใช้ออกซิเจนของไมโทคอนเดรียเพิ่มสูงขึ้นเป็น  $144.59 \text{ n atoms O/ml/min}$  จนกระทั่ง ADP ถูกใช้หมดไปในการทำปฏิกิริยา อัตราการใช้ออกซิเจนของไมโทคอนเดรีย จะลดลงเป็น  $22.25 \text{ n atoms O/ml/min}$  กลับเข้าสู่ state 4 respiration ตามเดิม และการที่อัตราการใช้ออกซิเจนของไมโทคอนเดรียถูกควบคุมด้วยการเติม ADP เรียกว่าไมโทคอนเดรียมีการควบคุมการหายใจ (respiratory control) ซึ่งเป็นคุณสมบัติที่สำคัญประการหนึ่งของไมโทคอนเดรีย ค่าที่แสดงถึงการควบคุมการหายใจคือ respiratory control index (RCI) ซึ่งเป็นตัวบ่งชี้ถึงคุณภาพของไมโทคอนเดรียที่ใช้ในการทดลองว่ามีคุณสมบัติเป็น tightly couple mitochondria หรือไม่ ซึ่งค่า RCI นี้จะคำนวณได้จาก อัตราการหายใจใน state 3 / อัตราการหายใจใน state 4 ดังนั้น RCI ของ ไมโทคอนเดรียที่ใช้ในการทดลองตามรูปที่ 22 จึงเท่ากับ  $144.59/22.25 = 6.50$  และเมื่อเติม DNP ซึ่งมีคุณสมบัติเป็น uncoupler จะทำให้การควบคุมการหายใจของไมโทคอนเดรียนี้เสียไป โดยที่

DNP สามารถกระตุ้นให้มีการหายใจได้คล้าย state 3 respiration แม้จะไม่มี ADP ก็ตาม (ไม่มีการสร้าง ATP) เรียกระยะนี้ว่า state 3U respiration ซึ่งมีผลทำให้ไมโทคอนเดรียใช้ออกซิเจนอย่างรวดเร็วติดต่อกันไป จะเห็นได้ว่าอัตราการใช้ออกซิเจนของไมโทคอนเดรียในระยะนี้เพิ่มเป็น 172.40 n atoms O/ml/min และการใช้ออกซิเจนนี้จะเกิดขึ้นต่อเนื่องกันไป จนกระทั่งออกซิเจนหมดไปจาก reaction chamber ( $O_2 \cong 0$ ) ส่วนค่า  $P/O = 256.32/94.54 = 2.71$  ซึ่งแสดงให้เห็นว่าไมโทคอนเดรียสามารถสร้าง ATP ได้ประมาณ 3 โมเลกุล (วิธีคำนวณในบทที่ 2)

tracing 22B แสดงให้เห็นว่า DMSO ที่ใช้เป็นตัวทำละลายของ 6-deoxyclitoriacetal ไม่มีผลกระตุ้นต่อ state 4 respiration

tracing 22C, 22D, 22E แสดงให้เห็นว่า 6-deoxyclitoriacetal ไม่มีผลต่ออัตราการหายใจใน state 4 แต่สามารถลดอัตราการหายใจใน state 3 และ state 3U respiration กล่าวคือ เมื่อเติมสารในขนาด 0.8  $\mu\text{g}$  (1.11  $\mu\text{M}$ ), 2.0  $\mu\text{g}$  (2.79  $\mu\text{M}$ ) และ 5.0  $\mu\text{g}$  (6.96  $\mu\text{M}$ ) ก่อนเป็นเวลา 1 นาที จากนั้นเติม ADP + Pi พบว่า 6-deoxyclitoriacetal สามารถทำให้อัตราการใช้ออกซิเจนใน state 3 ลดลงเป็น 72.30, 13.90 และ 8.34 n atoms O/ml/min ตามลำดับ และพบว่าอัตราการใช้ออกซิเจนใน state 3U ลดลงเป็น 55.61, 19.46 และ 8.34 n atoms O/ml/min ตามลำดับ เมื่อเติม DNP ลงไปในปฏิกิริยา

Dose-response curve ของ 6-deoxyclitoriacetal ในขนาดต่าง ๆ ที่มีผลต่ออัตราการใช้ออกซิเจนของไมโทคอนเดรีย เมื่อใช้ glutamate + malate เป็นตัวตั้งต้นรูปที่ 23 จะเห็นได้ว่าความแรงในการลดอัตราการใช้ออกซิเจนจะแปรผันตามขนาดสารที่ให้ (dose-dependent) โดยลดลงอย่างมีนัยสำคัญทางสถิติ ( $P < 0.05$ ) ซึ่งพบว่าผลทำให้อัตราการใช้ออกซิเจนใน state 3 คือเริ่ม ตั้งแต่ขนาด 0.6  $\mu\text{g}$  (0.84  $\mu\text{M}$ ) และ ใน state 3U ตั้งแต่ขนาด 0.3  $\mu\text{g}$  (0.42  $\mu\text{M}$ ) อัตราการใช้ออกซิเจนจะลดลงเรื่อย ๆ จนเริ่มคงที่และมีอัตราการใช้ออกซิเจนต่ำสุด ที่ขนาดตั้งแต่ 2.0  $\mu\text{g}$  (2.79  $\mu\text{M}$ ) จนถึง 5.0  $\mu\text{g}$  (6.96  $\mu\text{M}$ ) ดังแสดงในกราฟ (A) เมื่อคำนวณเป็นเปอร์เซ็นต์ (% respiration) เพื่อหาขนาดที่สามารถยับยั้งการหายใจของไมโทคอนเดรียได้ 50 เปอร์เซ็นต์ ( $IC_{50}$ ) ซึ่งเท่ากับ 0.8  $\mu\text{g}$  (1.11  $\mu\text{M}$ ) และค่า  $IC_{50}$  สำหรับการกระตุ้นการหายใจด้วย DNP มีค่าเป็น 0.3  $\mu\text{g}$  (0.42  $\mu\text{M}$ ) กราฟ (B)

## 1.2 เมื่อใช้ succinate เป็นตัวตั้ง

control respiratory response (เช่นเดียวกับรูป 22A) ซึ่งแสดงถึงอัตราการใช้ออกซิเจนตามปกติของไมโทคอนเดรียในระยะต่าง ๆ เมื่อเปลี่ยนตัวตั้งที่ใช้เป็น succinate เติม 10  $\mu\text{g}$  rotenone เพื่อยับยั้งการส่งผ่านอิเล็กตรอนในลูกโซ่หายใจ complex I ตามรูปที่ 24 A อัตราการใช้ออกซิเจนก่อนเติม rotenone เท่ากับ 58.39 n atoms O/ml/min และหลังเติมเท่ากับ 55.61 n atoms O/ml/min ซึ่งถือว่าอัตราการใช้ออกซิเจนยังไม่เปลี่ยนแปลงมากนัก จากนั้นเติม ADP + Pi เพื่อเข้าสู่ state 3 respiration อัตราการใช้ออกซิเจนจะเพิ่มขึ้นอย่างสูงมาก เท่ากับ 272.50 n atoms O/ml/min เมื่อ ADP ถูกใช้หมด อัตราการใช้ออกซิเจนจะลดลงเท่ากับ 61.17 n atoms O/ml/min กลับเข้าสู่ state 4 respiration ตามเดิม และเมื่อเติม DNP เพื่อเข้าสู่ state 3U respiration อัตราการใช้ออกซิเจนจะเพิ่มขึ้นอีกครั้งเท่ากับ 316.99 n atoms O/ml/min การใช้ออกซิเจนนี้จะเกิดขึ้นต่อเนื่องกันไป จนกระทั่งออกซิเจนหมดไปจาก reaction chamber ( $\text{O}_2 \cong 0$ ) ส่วนค่า  $\text{ADP/O} = 256.32/150.15 = 1.70$  ซึ่งแสดงให้เห็นว่าไมโทคอนเดรียสามารถสร้าง ATP ได้ประมาณ 2 โมเลกุล (วิธีคำนวณในบทที่ 2)

ส่วน DMSO ที่ใช้เป็นตัวทำละลายของ 6-deoxyclitoriacetal นั้นไม่มีผลกระทบต่อ state 4 respiration (รูป 24B)

tracing 24C, 24D, 24E แสดงให้เห็นว่า 6-deoxyclitoriacetal ไม่มีผลต่ออัตราการหายใจใน state 4 และอัตราการหายใจใน state 3 และ state 3U respiration กล่าวคือ เมื่อเติมสารตั้งต้นในขนาด 0.8  $\mu\text{g}$  (1.11  $\mu\text{M}$ ), 2.0  $\mu\text{g}$  (2.79  $\mu\text{M}$ ) และ 5.0  $\mu\text{g}$  (6.96  $\mu\text{M}$ ) ก่อนเป็นเวลา 1 นาที จากนั้นเติม ADP + Pi พบว่า 6-deoxyclitoriacetal ทำให้อัตราการใช้ออกซิเจนใน state 3 เปลี่ยนแปลงเพียงเล็กน้อย และเมื่อเติม DNP ลงไปในปฏิกิริยา พบว่าอัตราการใช้ออกซิเจนใน state 3U เปลี่ยนแปลงเพียงเล็กน้อยเท่านั้น

ในการศึกษาถึง Dose-response curve ของ 6-deoxyclitoriacetal ในขนาดต่าง ๆ ที่มีผลต่ออัตราการใช้ออกซิเจนของไมโทคอนเดรีย เมื่อใช้ succinate เป็นตัวตั้ง จะเห็นได้ว่าขนาดสารที่เพิ่มขึ้นไม่มีผล หรือมีผลเปลี่ยนแปลงน้อยมากต่ออัตราการใช้ออกซิเจนใน state 3 และ state 3U อย่างไม่มีนัยสำคัญทางสถิติ ( $P > 0.05$ ) กราฟ (A) และค่า % Respiration กราฟ (B) (รูปที่ 25)

จากทั้งสองกรณี แสดงให้เห็นว่า 6-deoxyclitriacetate มีผลต่ออัตราการใช้ออกซิเจนเฉพาะในกรณีที่ใช้ glutamate + malate เป็นตัวสเตรท ส่วนในกรณีที่ใช้ succinate เป็นตัวสเตรทที่ไม่มีผล จะเห็นได้ว่า 6-deoxyclitriacetate มีผลทำให้ค่าพารามิเตอร์ต่าง ๆ ที่ใช้วัดการทำงานของไมโทคอนเดรียเปลี่ยนแปลงไป โดยเมื่อทำการทดลองเพิ่มขึ้นเป็น 4 การทดลองและวิเคราะห์ข้อมูลทางสถิติพบว่า 6-deoxyclitriacetate ขนาด 0.8, 2 และ 5  $\mu\text{g}$  สามารถลดค่า RCI และอัตราส่วน P/O อย่างมีนัยสำคัญทางสถิติ ( $P < 0.05$ ) (ตารางที่ 4)

1.3 ผลของ 6-deoxyclitriacetate ต่อการหายใจของไมโทคอนเดรีย เมื่อใช้  $\text{NAD}^+$ -linked substrate ชนิดอื่นที่ไม่ใช่ glutamate + malate

### 1.3.1 เมื่อใช้ $\alpha$ -ketoglutarate เป็นตัวสเตรท

เมื่อทำการศึกษาผลของ 6-deoxyclitriacetate ในขนาดต่าง ๆ ต่ออัตราการใช้ออกซิเจนของไมโทคอนเดรียในระยะต่าง ๆ เมื่อใช้  $\alpha$ -ketoglutarate เป็นตัวสเตรท ได้ผลคือ

ตามรูป 26 tracing 26A แสดงใน state 4 respiration ซึ่งมีอัตราการใช้ออกซิเจนก่อนเติม DMSO เท่ากับ 27.81 n atoms O/ml/min และหลังเติมเท่ากับ 27.81 n atoms O/ml/min ซึ่งถือว่าอัตราการใช้ออกซิเจนเท่าเดิม และเป็นการแสดงให้เห็นว่า DMSO ไม่มีผลกระตุ้นต่อ state 4 respiration จากนั้นเติม ADP + Pi เพื่อเข้าสู่ state 3 respiration อัตราการใช้ออกซิเจนจะเพิ่มขึ้นอย่างสูงมาก เท่ากับ 112.35 n atoms O/ml/min เมื่อ ADP ถูกใช้หมด อัตราการใช้ออกซิเจนจะลดลงเป็น 27.81 n atoms O/ml/min กลับเข้าสู่ state 4 respiration ตามเดิม เมื่อเติม DNP เพื่อเข้าสู่ state 3U respiration อัตราการใช้ออกซิเจนจะเพิ่มขึ้นอีกครั้ง เท่ากับ 116.79 n atoms O/ml/min การใช้ออกซิเจนนี้จะเกิดขึ้นต่อเนื่องกันไป จนกระทั่งออกซิเจนหมดไปจาก reaction chamber ( $\text{O}_2 \cong 0$ ) ส่วนค่า  $\text{ADP/O} = 256.32/88.98 = 2.88$  ซึ่งแสดงให้เห็นว่าไมโทคอนเดรียสามารถสร้าง ATP ได้ประมาณ 3 โมเลกุล

tracing 26B, 26C, 26D แสดงให้เห็นว่า 6-deoxyclitriacetate สามารถลดอัตราการหายใจใน state 3 และ state 3U respiration กล่าวคือ เมื่อเติมสารในขนาด 0.5  $\mu\text{g}$  (0.7  $\mu\text{M}$ ), 0.8  $\mu\text{g}$  (1.11  $\mu\text{M}$ ) และ 2.0  $\mu\text{g}$  (2.79  $\mu\text{M}$ ) ก่อนเป็นเวลา 1 นาที จากนั้นเติม ADP + Pi พบว่า 6-deoxyclitriacetate ทำให้อัตราการใช้ออกซิเจนใน state 3 ลดลง เป็น 55.61, 38.93 และ

25.03 n atoms O/ml/min ตามลำดับ และเมื่อเติม DNP พบว่าอัตราการใช้ออกซิเจนใน state 3U ลดลง เป็น 58.39, 55.61 และ 38.93 n atoms O/ml/min ตามลำดับเช่นกัน

รูปที่ 27 กราฟแสดงผลของ 6-deoxyclitoriacetal ในขนาด 0.5  $\mu\text{g}$  (0.7  $\mu\text{M}$ ), 0.8  $\mu\text{g}$  (1.11  $\mu\text{M}$ ), 2.0  $\mu\text{g}$  (2.79  $\mu\text{M}$ ) และ 5.0  $\mu\text{g}$  (6.96  $\mu\text{M}$ ) ต่ออัตราการใช้ออกซิเจนใน state 3 และ state 3U ซึ่งพบว่าอัตราการใช้ออกซิเจนลดลงอย่างมีนัยสำคัญทางสถิติ ( $P < 0.05$ )

### 1.3.2 เมื่อใช้ $\beta$ -hydroxybutyrate เป็นตัวสเตรท

ทำการศึกษาเช่นเดียวกับ 1.3.1 โดยเปลี่ยนตัวสเตรทที่ใช้เป็น  $\beta$ -hydroxybutyrate จะ ได้ผลดังนี้คือ

state 4 respiration ซึ่งมีอัตราการใช้ออกซิเจนก่อนเติม DMSO เท่ากับ 22.25 n atoms O/ml/min และหลังเติมเท่ากับ 27.81 n atoms O/ml/min ซึ่งถือว่าอัตราการใช้ออกซิเจนไม่เปลี่ยนแปลงมากนัก และเป็นการแสดงให้เห็นว่า DMSO ไม่มีผลกระตุ้นต่อ state 4 respiration (รูป 28A) จากนั้นเติม ADP + Pi เพื่อเข้าสู่ state 3 respiration อัตราการใช้ออกซิเจนจะเพิ่มขึ้นอย่างสูงมาก เท่ากับ 144.59 n atoms O/ml/min เมื่อ ADP ถูกใช้หมด อัตราการใช้ออกซิเจนจะลดลงเป็น 27.81 n atoms O/ml/min กลับเข้าสู่ state 4 respiration ตามเดิม เมื่อเติม DNP เพื่อเข้าสู่ state 3U respiration อัตราการใช้ออกซิเจนจะเพิ่มขึ้นอีกครั้งเท่ากับ 127.91 n atoms O/ml/min การใช้ออกซิเจนนี้จะเกิดขึ้นต่อเนื่องกันไป จนกระทั่งออกซิเจนหมดไปจาก reaction chamber ( $\text{O}_2 \cong 0$ ) ส่วนค่า  $\text{ADP/O} = 256.32/94.54 = 2.71$  ซึ่งแสดงให้เห็นว่าไมโทคอนเดรียสามารถสร้าง ATP ได้ประมาณ 3 โมเลกุล

tracing 28B, 28C, 28D แสดงให้เห็นว่า 6-deoxyclitoriacetal สามารถลดอัตราการหายใจใน state 3 และ state 3U respiration กล่าวคือเมื่อเติมสารในขนาด 0.8  $\mu\text{g}$  (1.11  $\mu\text{M}$ ), 2.0  $\mu\text{g}$  (2.79  $\mu\text{M}$ ) และ 5.0  $\mu\text{g}$  (6.96  $\mu\text{M}$ ) ก่อนเป็นเวลา 1 นาที จากนั้นเติม ADP + Pi พบว่า 6-deoxyclitoriacetal ทำให้อัตราการใช้ออกซิเจนใน state 3 ลดลง เป็น 83.42, 27.81 และ 16.68 n atoms O/ml/min ตามลำดับ และเมื่อเติม DNP พบว่าอัตราการใช้ออกซิเจนใน state 3U ลดลง เป็น 72.30, 44.49 และ 22.25 n atoms O/ml/min ตามลำดับเช่นกัน

รูปที่ 29 กราฟแสดงผลของ 6-deoxyclitoriacetal ในขนาดต่าง ๆ ที่มีผลต่ออัตราการหายใจของไมโทคอนเดรีย ซึ่งพบว่าในขนาด 0.5  $\mu\text{g}$  (0.7  $\mu\text{M}$ ) และ 0.8  $\mu\text{g}$  (1.11  $\mu\text{M}$ ) จะมีผลทำให้อัตราการใช้ออกซิเจนใน state 3 และ state 3U ลดลงอย่างมีนัยสำคัญทางสถิติ ( $P > 0.05$ ) แต่ที่ขนาด 2.0  $\mu\text{g}$  (2.79  $\mu\text{M}$ ) และ 5.0  $\mu\text{g}$  (6.96  $\mu\text{M}$ ) จะมีผลลดอัตราการใช้ออกซิเจน ใน state 3 และ state 3U อย่างมีนัยสำคัญทางสถิติ ( $P < 0.05$ )

จากผลการทดลองดังกล่าว แสดงให้เห็นว่า 6-deoxyclitoriacetal สามารถยับยั้งการหายใจใน state 3 และ state 3U ของไมโทคอนเดรีย เมื่อใช้  $\text{NAD}^+$  - lined substrate ทั้ง 3 ชนิด คือ glutamate + malate,  $\alpha$ -ketoglutarate และ  $\beta$ -hydroxybutyrate

## 2. ผลของ 6-deoxyclitoriacetal ต่ออัตราการใช้ออกซิเจนใน osmotic-shocked mitochondria

รูปที่ 30 oxygraph tracing แสดงผลของ 6-deoxyclitoriacetal ในขนาดต่าง ๆ ต่ออัตราการใช้ออกซิเจนของไมโทคอนเดรียในระยะต่าง ๆ ใน osmotic-shocked mitochondria กล่าวคือ

tracing 30A เมื่อ preincubate ไมโทคอนเดรียด้วย DMSO (ซึ่งใช้เป็นตัวทำละลายของ 6-deoxyclitoriacetal) นาน 1 นาทีหลังจากเติม DMSO มีอัตราการใช้ออกซิเจนเท่ากับ 22.25 n atoms O/ml/min ซึ่งเท่ากับอัตราการใช้ออกซิเจนก่อนการเติม DMSO จากนั้นจึงเติม NADH อัตราการใช้ออกซิเจนเพิ่มขึ้นเป็น 50.05 n atoms O/ml/min จนไมโทคอนเดรียใช้ออกซิเจนใน chamber จนหมด

tracing 30B จากการทดลอง เมื่อทำการ preincubate osmotic-shocked mitochondria ด้วย 6-deoxyclitoriacetal ในขนาด 2.0  $\mu\text{g}$  (2.79  $\mu\text{M}$ ) นาน 1 นาที ต่อจากนั้นเติม NADH ซึ่งเป็นตัวกระตุ้นเพื่อให้เกิด state 3U พบว่าในขนาดของสารที่ให้นี้ ทำให้อัตราการใช้ออกซิเจนของไมโทคอนเดรียใน state 3U จะมีค่าเท่ากับ 27.81 n atoms O/ml/min ซึ่งลดลงจาก control อย่างมีนัยสำคัญทางสถิติ ( $P < 0.05$ )

รูปที่ 31 กราฟแสดงผลของ 6-deoxyclitoriacetal ในขนาดต่าง ๆ ที่มีผลต่ออัตราการหายใจในสถานะ osmotic-shocked mitochondria ซึ่งพบว่าในขนาด 0.5  $\mu\text{g}$  (0.7  $\mu\text{M}$ ) และ 0.8  $\mu\text{g}$  (1.11  $\mu\text{M}$ ) มีผลเปลี่ยนแปลงอัตราการใช้ออกซิเจนใน state 3U อย่างไม่มีนัยสำคัญทางสถิติ ( $P > 0.05$ ) เมื่อเปรียบ

เทียบกับ control ส่วนสารในขนาด 2.0  $\mu\text{g}$  (2.79  $\mu\text{M}$ ) และ 5.0  $\mu\text{g}$  (6.96  $\mu\text{M}$ ) จะมีผลลดอัตราการใช้ออกซิเจนใน state 3U อย่างมีนัยสำคัญทางสถิติ ( $P < 0.05$ )

3. ปัจจัยอื่น ๆ หรือการเปลี่ยนแปลงองค์ประกอบบางประการใน incubation medium ต่อการออกฤทธิ์ของ 6-deoxyclitoriacetal ที่มีต่ออัตราการใช้ออกซิเจนของไมโทคอนเดรีย

### 3.1 ผลของ rotenone

ในตารางที่ 5 แสดงผลของการให้ rotenone ร่วมกับ 6-deoxyclitoriacetal ต่ออัตราการออกซิเจนใน state 3 และ state 3U โดยในกลุ่ม control จะใช้ DMSO ซึ่งอัตราการใช้ออกซิเจนใน state 3 เท่ากับ  $57.31 \pm 5.69$  n atoms O/ml/min และเมื่อเติม 20 ng rotenone พบว่าอัตราการใช้ออกซิเจนเท่ากับ  $24.88 \pm 5.70$  n atoms O/ml/min ซึ่งลดลงอย่างมีนัยสำคัญทางสถิติ ( $P < 0.05$ ) หรือลดลงประมาณครึ่งหนึ่งของ control (rotenone เป็นสารที่ใช้ยับยั้ง complex I) ส่วนกรณีที่เติม 6-deoxyclitoriacetal ในขนาด 0.5  $\mu\text{g}$  (0.7  $\mu\text{M}$ ), 0.8  $\mu\text{g}$  (1.11  $\mu\text{M}$ ), 2.0  $\mu\text{g}$  (2.79  $\mu\text{M}$ ) และ 5.0  $\mu\text{g}$  (6.96  $\mu\text{M}$ ) อัตราการใช้ออกซิเจนจะลดลงอย่างมีนัยสำคัญทางสถิติ ( $P < 0.05$ ) มีค่าเท่ากับ  $42.11 \pm 4.77$ ,  $35.43 \pm 6.00$ ,  $16.52 \pm 4.13$  และ  $6.99 \pm 0.76$  n atoms O/ml/min ตามลำดับ ยกเว้นสารในขนาด 0.5  $\mu\text{g}$  (0.7  $\mu\text{M}$ ) จากนั้นหากทำการ preincubate ไมโทคอนเดรียกับ 20 ng rotenone และเติมสารในขนาดดังกล่าวข้างต้น พบว่าอัตราการใช้ออกซิเจนจะลดลงมากยิ่งขึ้นอย่างมีนัยสำคัญทางสถิติ ( $P < 0.05$ ) เท่ากับ  $11.07 \pm 1.98$ ,  $11.82 \pm 4.00$ ,  $8.42 \pm 3.11$  และ  $8.67 \pm 2.13$  n atoms O/ml/min ตามลำดับ ส่วนอัตราการใช้ออกซิเจนใน state 3U พบว่าในกลุ่ม control จะใช้ DMSO ซึ่งอัตราการใช้ออกซิเจนใน state 3U เท่ากับ  $72.52 \pm 4.82$  n atoms O/ml/min และเมื่อเติม 20 ng rotenone พบว่าอัตราการใช้ออกซิเจนเท่ากับ  $31.97 \pm 8.72$  n atoms O/ml/min ซึ่งลดลงอย่างมีนัยสำคัญทางสถิติ ( $P < 0.05$ ) ส่วนกรณีที่เติม 6-deoxyclitoriacetal ในขนาด 0.5  $\mu\text{g}$  (0.7  $\mu\text{M}$ ), 0.8  $\mu\text{g}$  (1.11  $\mu\text{M}$ ), 2.0  $\mu\text{g}$  (2.79  $\mu\text{M}$ ) และ 5.0  $\mu\text{g}$  (6.96  $\mu\text{M}$ ) อัตราการใช้ออกซิเจนจะลดลงอย่างมีนัยสำคัญทางสถิติ ( $P < 0.05$ ) เท่ากับ  $33.59 \pm 6.39$ ,  $24.98 \pm 4.23$ ,  $17.17 \pm 2.09$  และ  $8.71 \pm 1.07$  n atoms O/ml/min ตามลำดับ จากนั้นหากทำการ preincubate ไมโทคอนเดรียกับ 20 ng rotenone และเติมสารในขนาดดังกล่าวข้างต้น พบว่าอัตราการใช้ออกซิเจนจะลดลงมากยิ่งขึ้นอย่างมีนัยสำคัญทางสถิติ ( $P < 0.05$ ) เท่ากับ  $14.13 \pm 2.43$ ,  $14.42 \pm 4.54$ ,  $9.96 \pm 3.45$  และ  $9.89 \pm 2.33$  n atoms O/ml/min ตามลำดับ

### 3.2 ผลการเปลี่ยนแปลง pH ของ incubation medium ที่ pH 6.8, 7.2 และ 7.6

ตารางที่ 6 กราฟแสดงผลของ 6-deoxyclitoriacetal ในขนาดต่าง ๆ ที่มีผลต่ออัตราการหายใจในสถานะที่มีการเปลี่ยนแปลง pH ของ incubation medium ใน state 3 (pH 7.2) พบอัตราการใช้ออกซิเจนในกลุ่ม control เท่ากับ  $39.63 \pm 5.57$  n atoms O/ml/min ซึ่งจะเห็นได้ว่าสารในขนาด 2.0  $\mu\text{g}$  (2.79  $\mu\text{M}$ ) และ 5.0  $\mu\text{g}$  (6.96  $\mu\text{M}$ ) ทำให้อัตราการใช้ออกซิเจนจะลดลงเป็น  $9.17 \pm 1.16$  และ  $6.30 \pm 0.53$  n atoms O/ml/min ตามลำดับ ซึ่งเมื่อเติม 6-deoxyclitoriacetal ลงใน incubation medium (pH 6.8) พบว่าสารในขนาด 2.0  $\mu\text{g}$  (2.79  $\mu\text{M}$ ) และ 5.0  $\mu\text{g}$  (6.96  $\mu\text{M}$ ) มีผลทำให้อัตราการใช้ออกซิเจนลดลง เท่ากับ  $8.97 \pm 0.91$  และ  $5.28 \pm 0.64$  n atoms O/ml/min ตามลำดับและใน incubation medium (pH 7.6) เท่ากับ  $12.79 \pm 2.32$  และ  $7.53 \pm 1.35$  n atoms O/ml/min ตามลำดับเช่นกัน ใน state 3U อัตราการใช้ออกซิเจนจะลดลงทุก ๆ ค่า pH ที่ incubation medium (pH 7.2) พบอัตราการใช้ออกซิเจนในกลุ่ม control เท่ากับ  $45.80 \pm 2.14$  n atoms O/ml/min โดยเมื่อเติมสารขนาด 2.0  $\mu\text{g}$  (2.79  $\mu\text{M}$ ) และ 5.0  $\mu\text{g}$  (6.96  $\mu\text{M}$ ) อัตราการใช้ออกซิเจนใน (pH 7.2) จะลดลงเท่ากับ  $12.44 \pm 2.04$  และ  $7.51 \pm 0.70$  n atoms O/ml/min ตามลำดับ ส่วนอัตราการใช้ออกซิเจนใน (pH 6.8) จะลดลงเท่ากับ  $10.99 \pm 1.27$  และ  $5.98 \pm 0.56$  n atoms O/ml/min ตามลำดับ และ อัตราการใช้ออกซิเจนใน (pH 7.6) จะลดลงเท่ากับ  $15.87 \pm 2.92$  และ  $12.13 \pm 3.62$  n atoms O/ml/min ตามลำดับ จากตารางจึงกล่าวได้ว่าที่ทุก ๆ pH ของ incubation medium เมื่อเติม 6-deoxyclitoriacetal ลงไปจะทำให้เกิดการลดอัตราการใช้ออกซิเจนของไมโทคอนเดรียเมื่อเปรียบเทียบกับ control ได้อย่างมีนัยสำคัญทางสถิติ ( $P < 0.05$ ) โดยไม่มีความแตกต่างกันของ pH ใน incubation medium ที่ใช้

### 3.3 ผลของ bovine serum albumin (BSA)

รูปที่ 32 กราฟแสดงการเปรียบเทียบผลของการเติม BSA ในขนาดต่าง ๆ คือ 5, 10, 20 และ 30 mg ต่อการออกฤทธิ์ของ 6-deoxyclitoriacetal ในขนาด 2.0  $\mu\text{g}$  (2.79  $\mu\text{M}$ ) ต่อการหายใจของไมโทคอนเดรียใน state 3 จากกราฟจะเห็นได้ว่าอัตราการใช้ออกซิเจนเมื่อเติมสารในขนาด 2.0  $\mu\text{g}$  (2.79  $\mu\text{M}$ ) เป็นกลุ่ม control โดยไม่มีการเติม BSA เท่ากับ  $11.73 \pm 2.00$  n atoms O/ml/min และเมื่อเติม BSA ในขนาด 5 mg มีผลทำให้อัตราการหายใจที่ลดลงจากฤทธิ์ของ 6-deoxyclitoriacetal มีค่าเพิ่มขึ้น คือมีการเพิ่มอัตราการใช้ออกซิเจนเท่ากับ  $20.31 \pm 2.00$  n atoms O/ml/min อย่างไม่มีนัยสำคัญทางสถิติ ( $P > 0.05$ ) แต่เมื่อเติม BSA ในขนาด 10, 20 และ 30 mg พบว่าสามารถลดผลการยับยั้ง state 3

respiration ของ 6-deoxycltloriacetal หรือมีการเพิ่มอัตราการใช้ออกซิเจนได้อย่างมีนัยสำคัญทางสถิติ ( $P < 0.05$ ) เท่ากับ  $24.33 \pm 2.48$ ,  $38.47 \pm 6.97$  และ  $45.84 \pm 2.96$  n atoms O/ml/min

### 3.4 ผลของ dithiothreitol (DTT)

รูปที่ 33 แสดง tracing 33A แสดง control respiratory response แสดงใน state 4 respiration ซึ่งมีอัตราการใช้ออกซิเจนก่อนเติม DMSO เท่ากับ  $22.25$  n atoms O/ml/min และหลังเติมเท่ากับ  $22.25$  n atoms O/ml/min ซึ่งถือว่าอัตราการใช้ออกซิเจนเท่าเดิม จากนั้นเติม ADP + Pi เพื่อเข้าสู่ state 3 respiration อัตราการใช้ออกซิเจนจะเพิ่มขึ้นอย่างสูงมาก เท่ากับ  $139.03$  n atoms O/ml/min เมื่อ ADP ถูกใช้หมด อัตราการใช้ออกซิเจนจะลดลงเป็น  $27.81$  n atoms O/ml/min กลับเข้าสู่ state 4 respiration ตามเดิมอีกครั้ง เมื่อเติม DNP เพื่อเข้าสู่ state 3U respiration อัตราการใช้ออกซิเจนจะเพิ่มขึ้นสูงมากเท่ากับ  $216.89$  n atoms O/ml/min

tracing 33 B แสดงให้เห็นว่าเมื่อเติม  $1.04$  mM DTT โดยการนำไป preincubate กับไมโทคอนเดรียเป็นเวลา 1 นาที ก่อนเติม DMSO พบว่าอัตราการใช้ออกซิเจนใน state 4 เท่ากับ  $22.25$  n atoms O/ml/min และหลังเติมเท่ากับ  $27.81$  n atoms O/ml/min ซึ่งถือว่าไม่เปลี่ยนแปลงมากนัก เมื่อเติม ADP + Pi อัตราการใช้ออกซิเจนใน state 3 เพิ่มขึ้นเป็น  $133.47$  n atoms O/ml/min เมื่อ ADP ถูกใช้หมด อัตราการใช้ออกซิเจนจะลดลงเป็น  $27.81$  n atoms O/ml/min กลับเข้าสู่ state 4 respiration ตามเดิม เมื่อเติม DNP เพื่อเข้าสู่ state 3U respiration อัตราการใช้ออกซิเจนจะเพิ่มขึ้นอีกครั้ง เท่ากับ  $189.08$  n atoms O/ml/min จึงกล่าวได้ว่า DTT ไม่มีผลต่ออัตราการหายใจของไมโทคอนเดรีย เนื่องจากอัตราการหายใจของไมโทคอนเดรียไม่เปลี่ยนแปลง

tracing 33C แสดงให้เห็นว่า 6-deoxycltloriacetal ในขนาด  $2.0$   $\mu\text{g}$  ( $2.79$   $\mu\text{M}$ ) สามารถลดอัตราการใช้ออกซิเจนใน state 3 และ state 3U เท่ากับ  $19.46$  และ  $25.03$  n atoms O/ml/min ตามลำดับ

tracing 33D เมื่อเติม  $1.04$  mM DTT 1 นาทีก่อนการเติม 6-deoxycltloriacetal ในขนาด  $2.0$   $\mu\text{g}$  ( $2.79$   $\mu\text{M}$ ) อัตราการใช้ออกซิเจนเท่ากับ  $22.25$  n atoms O/ml/min เท่ากันกับหลังการเติม 6-deoxycltloriacetal และเมื่อเติม ADP + Pi พบว่าอัตราการใช้ออกซิเจนใน state 3 และ state 3U เท่ากับ  $16.68$  และ  $25.03$  n atoms O/ml/min ตามลำดับ จึงกล่าวได้ว่า  $1.04$  mM DTT ไม่สามารถลด

ผลการยับยั้งการหายใจของไมโทคอนเดรีย ทั้ง state 3 และ state 3U ของ 6-deoxyclitriacetal ได้ อย่างมีนัยสำคัญทางสถิติ ( $P > 0.05$ )

รูปที่ 34 กราฟแสดงผลของ DTT ต่อการออกฤทธิ์ของ ของ 6-deoxyclitriacetal ในขนาดต่าง ๆ ที่มีผลต่ออัตราการหายใจของไมโทคอนเดรีย เมื่อทำการทดลองเป็น 4 การทดลองและหาค่าเฉลี่ย พร้อมวิเคราะห์ข้อมูลทางสถิติ ซึ่งพบว่าอัตราการใช้ออกซิเจนเมื่อเติม DTT ใน state 3 และ state 3U เท่ากับ  $99.96 \pm 7.47$  และ  $119.35 \pm 2.39$  n atoms O/ml/min ตามลำดับ จึงถือว่า DTT ไม่มีผลต่อการเปลี่ยนแปลงอัตราการใช้ออกซิเจนเมื่อเปรียบเทียบกับกลุ่ม control และเมื่อให้ DTT ร่วมกับสาร ในขนาด  $2.0 \mu\text{g}$  ( $2.79 \mu\text{M}$ ) พบว่าอัตราการใช้ออกซิเจนลดลงเท่ากับ  $16.46 \pm 1.57$  และ  $21.02 \pm 1.75$  n atoms O/ml/min ใน state 3 และ state 3U ตามลำดับอย่างมีนัยสำคัญทางสถิติ ( $P < 0.05$ ) ซึ่งมีอัตราการใช้ออกซิเจนพอ ๆ กับให้สารในขนาด  $2.0 \mu\text{g}$  ( $2.79 \mu\text{M}$ ) อย่างเดียว จึงกล่าวได้ว่า DTT ไม่สามารถลดฤทธิ์ในการยับยั้งอัตราการใช้ออกซิเจนใน state 3 และ state 3U ของ 6-deoxyclitriacetal ได้นั่นเอง

#### 4. ผลของ 6-deoxyclitriacetal ต่อ ATPase activity ของไมโทคอนเดรีย

##### 4.1 ผลของ 6-deoxyclitriacetal ในขนาดต่าง ๆ

รูปที่ 35 กราฟแสดงผลของ 6-deoxyclitriacetal ในขนาดต่าง ๆ ที่มีผลต่อ ATPase activity ของไมโทคอนเดรีย โดยวัดปริมาณ Pi ที่เกิดขึ้นจากการสลายตัวของ ATP (ตามวิธีการในบทที่ 2) จากรูปจะเห็นได้ว่า 6-deoxyclitriacetal ในขนาดตั้งแต่  $0.5-20 \mu\text{g}$  ( $0.7-27.85 \mu\text{M}$ ) สามารถกระตุ้น ATPase activity ของไมโทคอนเดรียได้มากขึ้นตามขนาดสารที่เพิ่มขึ้น โดยที่ในขนาด  $10 \mu\text{g}$  ( $13.93 \mu\text{M}$ ) มีปริมาณ Pi ที่วัดได้เท่ากับในขนาด  $20 \mu\text{g}$  ( $27.85 \mu\text{M}$ ) คือ  $0.41 \pm 0.02 \mu\text{mole}/10 \text{ min}/\text{mg protein}$  แสดงว่าปริมาณ Pi ที่ออกมามีค่าคงที่แล้ว จากรูปกล่าวได้ว่า 6-deoxyclitriacetal ขนาด ตั้งแต่  $0.5-20 \mu\text{g}$  ( $0.7-27.85 \mu\text{M}$ ) สามารถกระตุ้น ATPase activity ของไมโทคอนเดรียได้อย่างมีนัยสำคัญทางสถิติ ( $P < 0.05$ )

#### 4.2 ผลของ oligomycin และ atractyloside

ตารางที่ 7 แสดงผลของ ATPase activity เมื่อถูกกระตุ้นด้วย DNP โดยพบว่าเมื่อทำการเติม 0.10 mM DNP ซึ่งมีคุณสมบัติเป็น uncoupler สามารถกระตุ้น ATPase activity ได้ โดยทำให้มีการสลายตัวของ ATP ไปเป็น ADP + Pi ได้ ทำให้สามารถวัดปริมาณ Pi ที่ปลดปล่อยออกมาได้ มีค่าเท่ากับ  $1.5983 \pm 0.143$   $\mu\text{mole}/10 \text{ min}/\text{mg protein}$  ในส่วนของ DMSO ขนาด 10  $\mu\text{l}$  มีค่าเท่ากับ  $1.8037 \pm 0.156$   $\mu\text{mole}/10 \text{ min}/\text{mg protein}$  ที่ใช้เป็นตัวทำละลายของ 6-deoxyclitoriacetal ไม่มีผลกระตุ้น ATPase activity ของไมโทคอนเดรียเมื่อเทียบกับกลุ่ม control และเมื่อทดสอบใช้ 0.10 mM DNP ร่วมกับ oligomycin และ atractyloside โดยทำให้มี Pi ที่ปลดปล่อยออกมามีค่าน้อยลงเป็น  $0.3262 \pm 0.018$  และ  $0.6447 \pm 0.052$   $\mu\text{mole}/10 \text{ min}/\text{mg protein}$  ตามลำดับ ซึ่งถือว่า oligomycin และ atractyloside สามารถยับยั้งการกระตุ้น ATPase activity ของ DNP ได้อย่างมีนัยสำคัญทางสถิติ ( $P < 0.05$ )

ส่วนในกรณีสถานะปกติคือไม่มี DNP ปริมาณ Pi ที่ปลดปล่อยออกมารวมทั้งที่ไม่ใช้และใช้ DMSO เท่ากับ  $0.1756 \pm 0.006$  และ  $0.1988 \pm 0.018$   $\mu\text{mole}/10 \text{ min}/\text{mg protein}$  จึงถือว่า DMSO ไม่มีผลในการกระตุ้น ATPase activity ส่วน 6-deoxyclitoriacetal ในขนาด 5  $\mu\text{g}$  (6.96  $\mu\text{M}$ ) และ 20  $\mu\text{g}$  (27.85  $\mu\text{M}$ ) มีผลกระตุ้น ATPase activity ได้เท่ากับ  $0.3747 \pm 0.012$  และ  $0.4120 \pm 0.018$   $\mu\text{mole}/10 \text{ min}/\text{mg protein}$  เช่นกันกับ DNP แต่ถือว่าฤทธิ์ในการกระตุ้นอ่อนกว่า DNP มาก แต่หากเทียบกับกลุ่มที่ไม่เติมสารใดเลยถือว่าแตกต่างอย่างมีนัยสำคัญทางสถิติ ( $P < 0.05$ ) และเมื่อศึกษาถึงผลของการใช้ oligomycin ร่วมกับ 6-deoxyclitoriacetal ในขนาด 5  $\mu\text{g}$  (6.96  $\mu\text{M}$ ) และ 20  $\mu\text{g}$  (27.85  $\mu\text{M}$ ) พบว่ามีปริมาณ Pi ที่ปลดปล่อยออกมาเท่ากับ  $0.2593 \pm 0.025$  และ  $0.2826 \pm 0.030$   $\mu\text{mole}/10 \text{ min}/\text{mg protein}$  ตามลำดับ กล่าวคือลดลงจากกลุ่ม control อย่างมีนัยสำคัญทางสถิติ ( $P < 0.05$ ) และเมื่อให้ atractyloside ร่วมกับ 6-deoxyclitoriacetal ในขนาด 5  $\mu\text{g}$  (6.96  $\mu\text{M}$ ) และ 20  $\mu\text{g}$  (27.85  $\mu\text{M}$ ) พบว่ามีปริมาณ Pi ที่ปลดปล่อยออกมามีค่าเท่ากับ  $0.2996 \pm 0.024$  และ  $0.3876 \pm 0.056$   $\mu\text{mole}/10 \text{ min}/\text{mg protein}$  ตามลำดับ เป็นที่น่าสังเกตได้ว่า atractyloside สามารถยับยั้งการกระตุ้น ATPase activity ได้ในสารขนาด 5  $\mu\text{g}$  (6.96  $\mu\text{M}$ ) ได้อย่างมีนัยสำคัญทางสถิติ ( $P < 0.05$ ) ส่วนในขนาด 20  $\mu\text{g}$  (27.85  $\mu\text{M}$ ) มีความแตกต่างจากกลุ่ม control อย่างไม่มีนัยสำคัญทางสถิติ ( $P > 0.05$ )

5. ผลของ 6-deoxyclitoriacetal ต่อการกระตุ้นการหายใจของไมโทคอนเดรียด้วย  $\text{Ca}^{2+}$  (calcium-stimulated respiration) เมื่อใช้ glutamate + malate เป็นสับสเตรท

รูปที่ 36 oxygraph tracing แสดงผลของ  $\text{Ca}^{2+}$  ต่อการออกฤทธิ์ของ 6-deoxyclitoriacetal เมื่อใช้ glutamate + malate เป็นสับสเตรท

tracing 36A แสดง control respiratory response ของไมโทคอนเดรีย เมื่อ preincubate ไมโทคอนเดรียด้วย DMSO ที่ใช้เป็นตัวทำละลายของ 6-deoxyclitoriacetal

tracing 36B แสดงให้เห็นว่าเมื่อมีการเติม  $\text{Ca}^{2+}$  ในสภาวะที่มี PI อยู่ พบว่า  $\text{Ca}^{2+}$  สามารถกระตุ้นไมโทคอนเดรียให้มีอัตราการใช้ออกซิเจนได้เช่นเดียวกับการเติม ADP + PI โดยตามปกติ ไมโทคอนเดรียจะนำพลังงานที่ได้จากการขนส่งอิเล็กตรอนในลูกโซ่การหายใจหรือ proton gradient มาใช้ในการขนส่ง  $\text{Ca}^{2+}$  เพื่อนำ  $\text{Ca}^{2+}$  มาสะสมบริเวณ endoplasmic reticulum (ER) ดังนั้นเมื่อเติม 0.42 mM  $\text{CaCl}_2$  ลงไปในปฏิกิริยาที่มีสับสเตรทมากเพียงพอและมี PI อยู่ อัตราการใช้ออกซิเจนของไมโทคอนเดรียจะเพิ่มขึ้นสูง และอัตราการใช้ออกซิเจนจะลดเมื่อ  $\text{Ca}^{2+}$  ถูกสะสมเป็นที่เรียบร้อย จากรูปแสดงให้เห็นว่าในกลุ่ม control เมื่อได้รับ  $\text{Ca}^{2+}$  อัตราการใช้ออกซิเจนจะเพิ่มขึ้นเป็น 211.33 n atoms O/ml/min และ ลดลงมาที่ 22.25 n atoms O/ml/min

tracing 36C เมื่อมีการเติม 6-deoxyclitoriacetal ในขนาด 2.0  $\mu\text{g}$  (2.79  $\mu\text{M}$ ) พบว่าสารมีผลทำให้อัตราการใช้ออกซิเจนลดลงอย่างมีนัยสำคัญทางสถิติ ( $P < 0.05$ ) เท่ากับ 22.25 n atoms O/ml/min

รูปที่ 37 กราฟแสดงผลของ 6-deoxyclitoriacetal ในขนาด 0.5  $\mu\text{g}$  (0.7  $\mu\text{M}$ ), 0.8  $\mu\text{g}$  (1.11  $\mu\text{M}$ ) และ 2.0  $\mu\text{g}$  (2.79  $\mu\text{M}$ ) ต่อการกระตุ้นการหายใจของไมโทคอนเดรียด้วย  $\text{Ca}^{2+}$  จากรูปพบว่า สารในขนาด 0.5  $\mu\text{g}$  (0.7  $\mu\text{M}$ ), 0.8  $\mu\text{g}$  (1.11  $\mu\text{M}$ ) และ 2.0  $\mu\text{g}$  (2.79  $\mu\text{M}$ ) มีอัตราการใช้ออกซิเจนเท่ากับ  $62.97 \pm 3.36$ ,  $32.27 \pm 0.88$  และ  $12.57 \pm 0.86$  n atoms O/ml/min ซึ่งมีความแตกต่างจากกลุ่ม control อย่างมีนัยสำคัญทางสถิติ ( $P < 0.05$ )

## 6. ผลของ 6-deoxyclitoriacetal ต่อ monoamine oxidase (MAO) activity

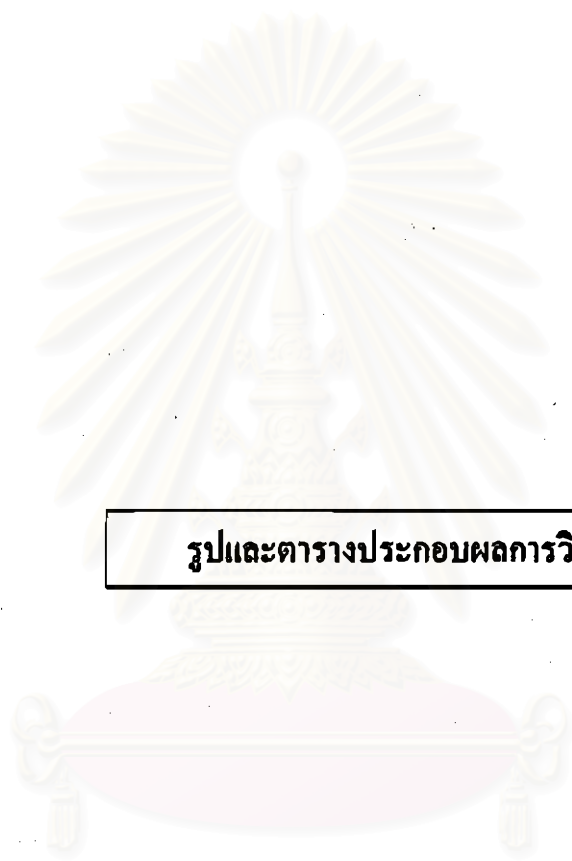
รูปที่ 38 แสดง oxygraph tracing เป็นการศึกษาผลของ 6-deoxyclitoriacetal ต่อเอนไซม์ MAO ซึ่งเป็นเอนไซม์ที่อยู่ที่ผนังชั้นนอกของไมโทคอนเดรีย โดยมี tyramine เป็นตัวสเตรท ก่อนจะเติมตัวสเตรททุกกลุ่มจะได้รับ 10  $\mu\text{g}$  rotenone ซึ่งทำหน้าที่เป็น respiratory chain inhibitor ซึ่งจะยับยั้งการออกซิไดซ์ endogenous substrate ของไมโทคอนเดรีย เพื่อให้การใช้ออกซิเจนที่เกิดขึ้นจากการออกซิไดซ์ tyramine โดย monoamine oxidase เท่านั้น

tracing 38A แสดงการใช้ออกซิเจนของไมโทคอนเดรียในกลุ่ม control ซึ่งใช้ 10  $\mu\text{l}$  DMSO ลงไป incubate กับไมโทคอนเดรียนาน 1 นาที ก่อนการเติม tyramine มีอัตราการใช้ออกซิเจนได้เท่ากับ 16.68 n atoms O/ml/min และหลังจากเติม DMSO เท่ากับ 11.12 n atoms O/ml/min เมื่อมีการเติม 0.01 mM tyramine มีอัตราการใช้ออกซิเจนเพิ่มขึ้นเท่ากับ 30.59 n atoms O/ml/min

tracing 38B แสดงผลของ 6-deoxyclitoriacetal ในขนาด 2.0  $\mu\text{g}$  (2.79  $\mu\text{M}$ ) ทำให้อัตราการใช้ออกซิเจนของไมโทคอนเดรีย หลังการเติม 0.01 mM tyramine มีอัตราการใช้ออกซิเจนเท่ากับ 22.25 n atoms O/ml/min ซึ่งลดลงเล็กน้อยเมื่อเปรียบเทียบกับ control ซึ่งพบความแตกต่างอย่างไม่มีนัยสำคัญทางสถิติ ( $P > 0.05$ )

tracing 38C แสดงผลการใช้ pargyline ซึ่งเป็นสารที่มีคุณสมบัติยับยั้งการทำงานของเอนไซม์ monoamine oxidase ลงไป incubate กับไมโทคอนเดรียนาน 1 นาที ก่อนการเติม tyramine ซึ่งมีอัตราการใช้ออกซิเจนก่อนและหลังเติม tyramine ได้เท่ากับ 5.56 n atoms O/ml/min จึงกล่าวได้ว่า pargyline สามารถยับยั้งการกระตุ้นการใช้ออกซิเจนที่เกิดจาก tyramine ได้อย่างมีนัยสำคัญทางสถิติ ( $P < 0.05$ )

รูปที่ 39 กราฟแสดงผลของ 6-deoxyclitoriacetal ในขนาด 2.0  $\mu\text{g}$  (2.79  $\mu\text{M}$ ) และ 5  $\mu\text{g}$  (6.96  $\mu\text{M}$ ) เมื่อทำการทดลองเป็น 4 การทดลองและหาค่าเฉลี่ยพร้อมวิเคราะห์ข้อมูลทางสถิติ ซึ่งพบว่าอัตราการใช้ออกซิเจนเท่ากับ  $5.67 \pm 0.41$  และ  $5.95 \pm 0.73$  n atoms O/ml/min ซึ่งลดลงเล็กน้อยแตกต่างจาก control อย่างไม่มีนัยสำคัญทางสถิติ ( $P > 0.05$ )



รูปและตารางประกอบผลการวิจัย

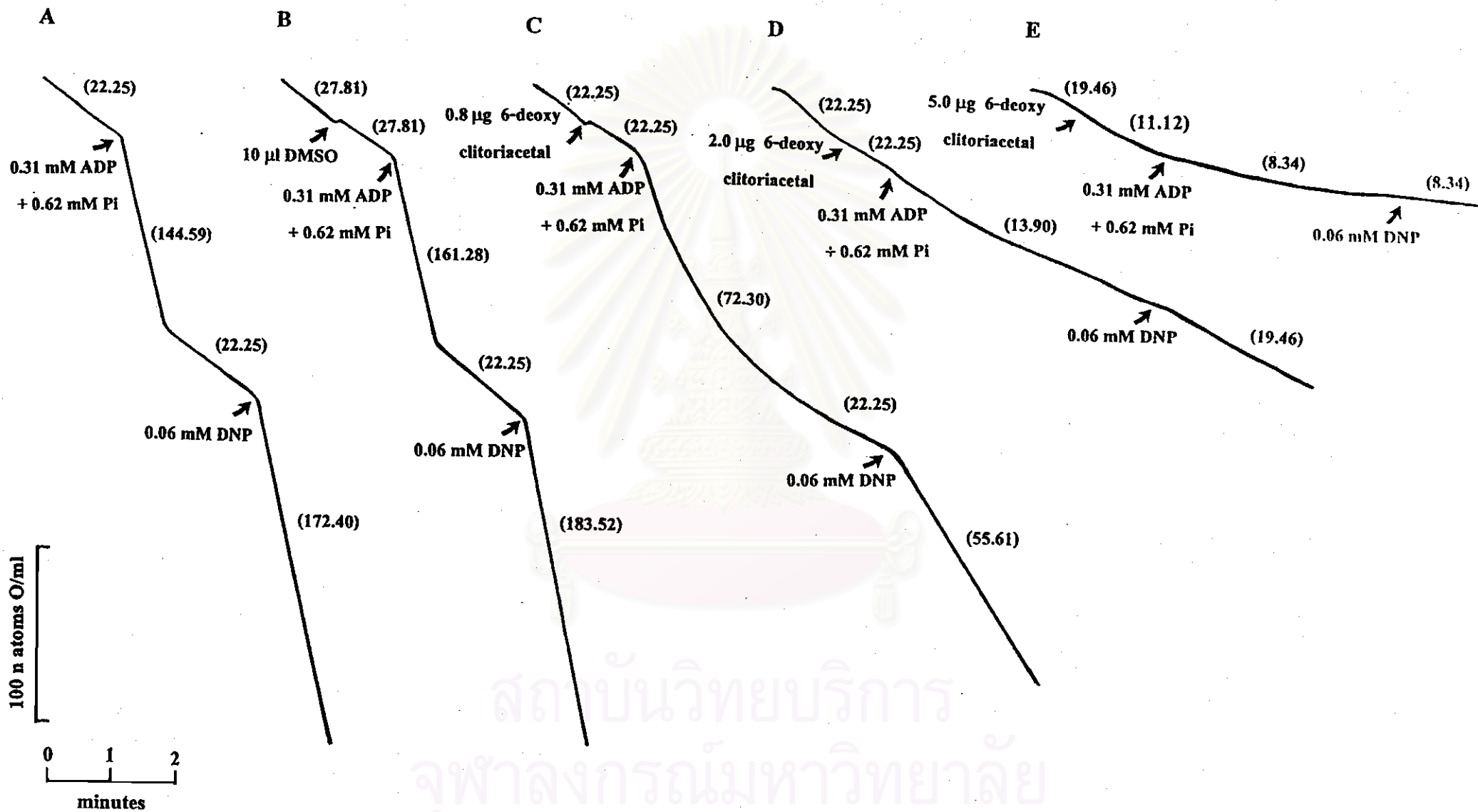
สถาบันวิทยบริการ  
จุฬาลงกรณ์มหาวิทยาลัย

รูปที่ 22 Tracing แสดงผลของ 6-deoxyclitoriaetal ในขนาด 0.8, 2.0, 5.0  $\mu\text{g}$  ที่มีต่ออัตราการหายใจของไมโทคอนเดรีย เมื่อใช้ glutamate + malate เป็นสับสเตรท

ส่วนประกอบของปฏิกิริยา : 37.50 mM HEPES buffer, 1.88 mM  $\text{MgCl}_2$ , 86.25 mM KCl, 5.21 mM potassium glutamate + 5.21 mM potassium malate, 13.02 mM sucrose และไมโทคอนเดรีย 1.75 mg protein/ml. ส่วนประกอบที่เติมตามลงไปอีกดังแสดงในรูป คือ 0.31 mM ADP + 0.62 mM Pi, 0.06 mM DNP และ 6-deoxyclitoriacetal ความเข้มข้น 0.8, 2, 5  $\mu\text{g}$  ส่วนในกลุ่มควบคุมใช้ DMSO 10  $\mu\text{l}$ . ปริมาตรทั้งหมด 1.92 ml. อุณหภูมิ 37  $^{\circ}\text{C}$

อัตราการใช้ออกซิเจนของไมโทคอนเดรียในระยะต่าง ๆ แสดงเป็นตัวเลขในวงเล็บคำนวณออกมา มีหน่วยเป็นจำนวน n atoms O/ml/min

สถาบันวิทยบริการ  
จุฬาลงกรณ์มหาวิทยาลัย



สถาบันวิทยบริการ  
จุฬาลงกรณ์มหาวิทยาลัย

รูปที่ 23 Dose-response curve ของ 6-deoxyclitriacetal ในขนาดต่าง ๆ ที่มีต่ออัตราการหายใจของไมโทคอนเดรีย เมื่อใช้ glutamate + malate เป็นตัวกระตุ้น (A) และ เมื่อคำนวณเป็นเปอร์เซ็นต์ (% Respiration) (B)

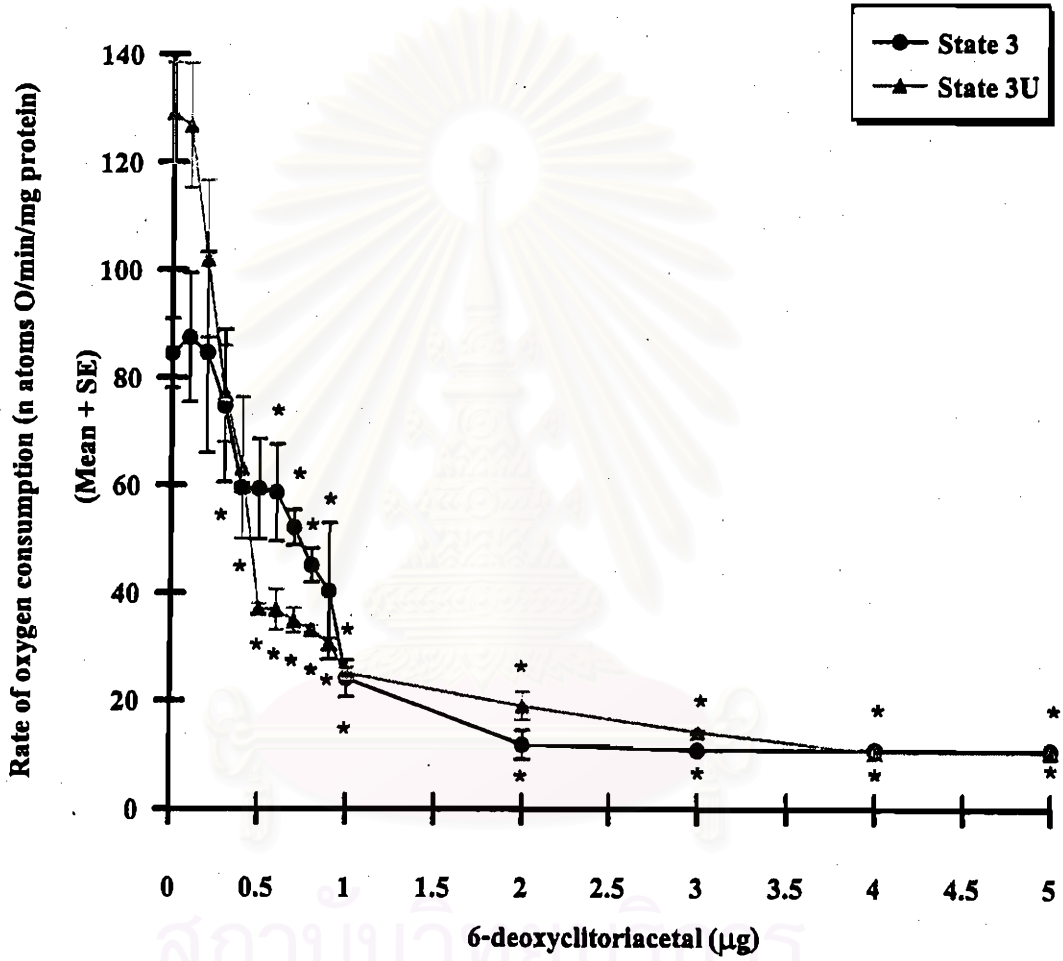
ส่วนประกอบของปฏิกิริยา : 37.50 mM HEPES buffer, 1.88 mM  $MgCl_2$ , 86.25 mM KCl, 5.21 mM potassium glutamate + 5.21 mM potassium malate, 13.02 mM sucrose, 0.31 mM ADP + 0.62 mM Pi, 0.06 mM DNP และไมโทคอนเดรียเฉลี่ย 1.90 mg protein/ml. 6-deoxyclitriacetal ขนาดต่าง ๆ ที่เติมลงไปดังแสดงในรูป ปริมาตรทั้งหมด 1.92 ml. อุณหภูมิ 37 °C

แต่ละจุดที่แสดงแทนค่าเฉลี่ย  $\pm$  ความคลาดเคลื่อนมาตรฐานของค่าเฉลี่ยจาก 4 การทดลอง

n = 4 (\*)  $p < 0.05$  เมื่อเปรียบเทียบกับ control

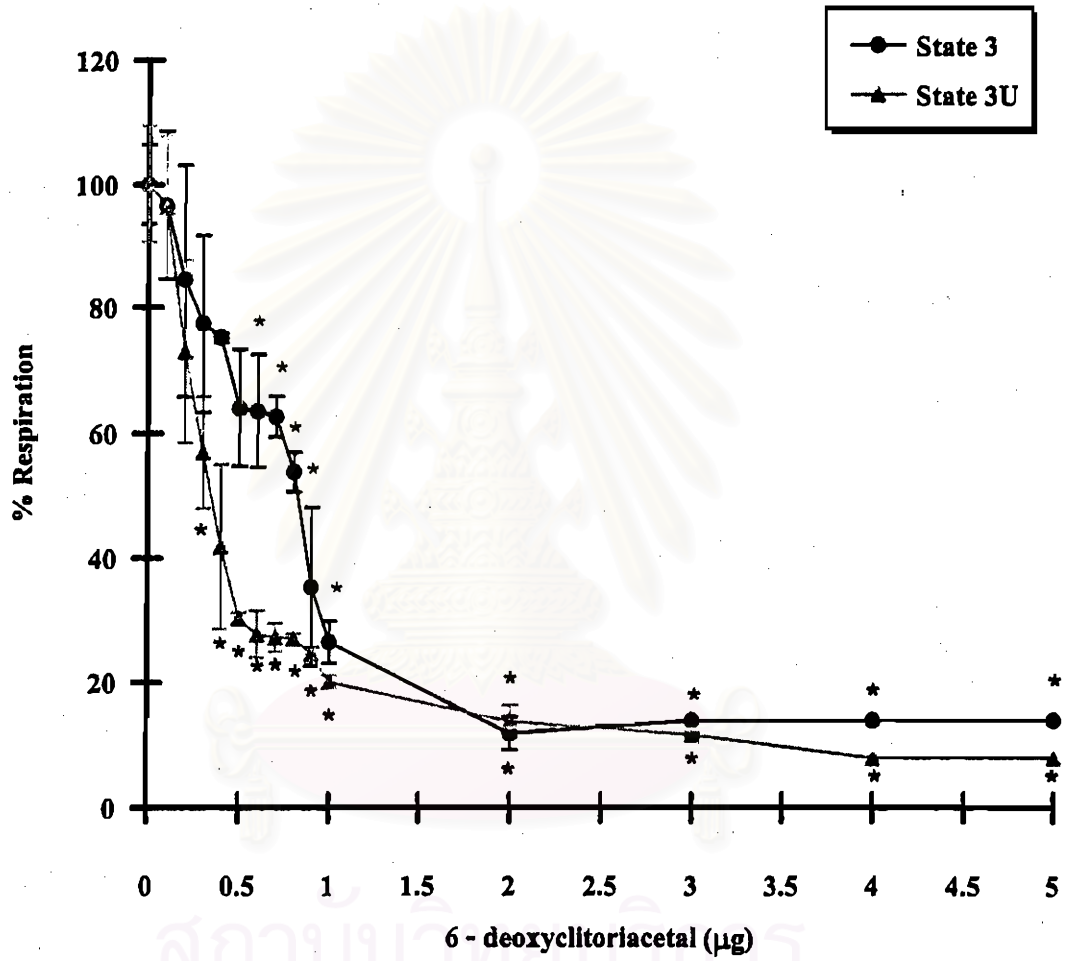
สถาบันวิทยบริการ  
จุฬาลงกรณ์มหาวิทยาลัย

A



สถาบันวิจัยชีววิทยา  
จุฬาลงกรณ์มหาวิทยาลัย

B



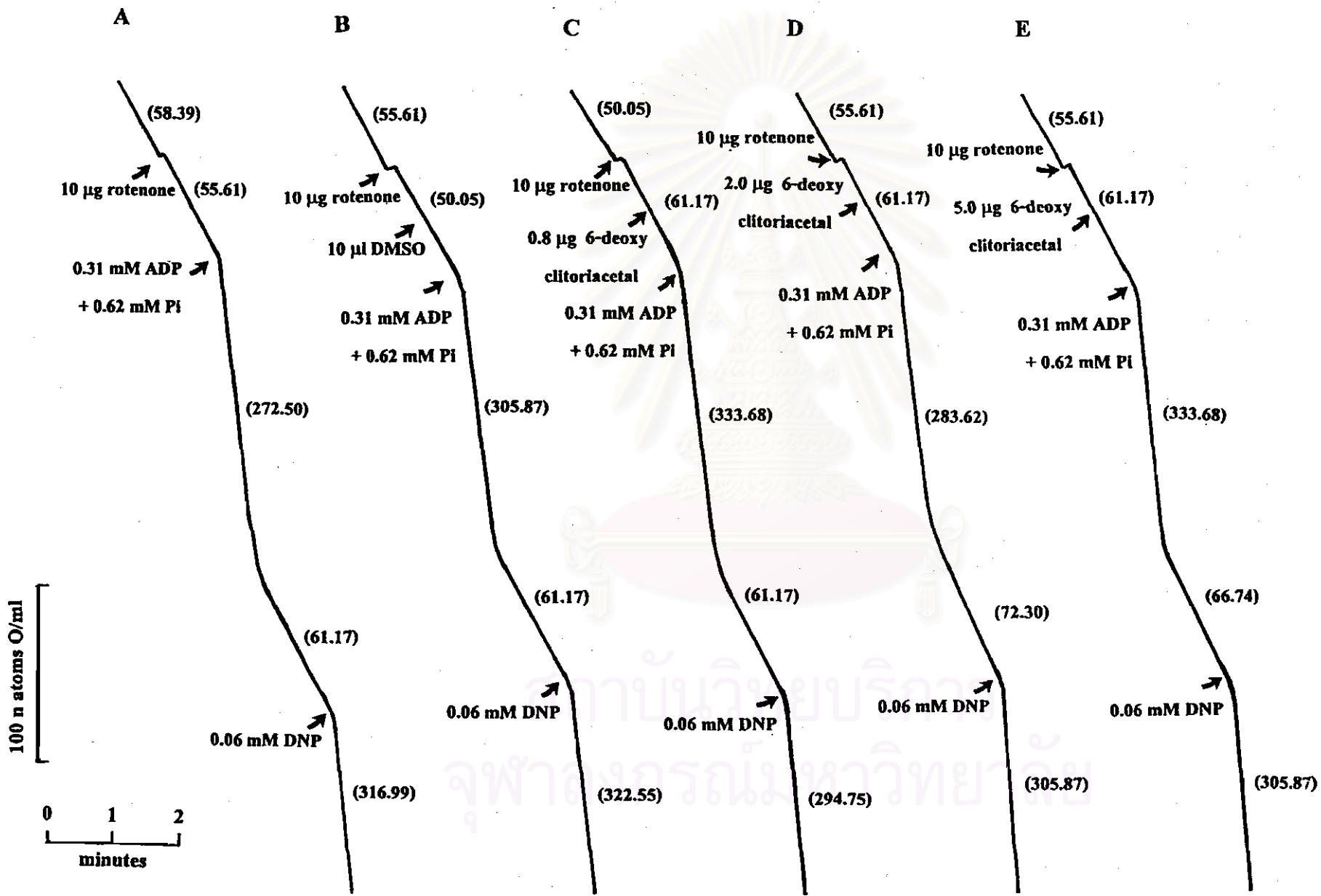
สถาบันวิจัยชีววิทยา  
จุฬาลงกรณ์มหาวิทยาลัย

รูปที่ 24 Tracing แสดงผลของ 6-deoxyclitoriaetal ในขนาด 0.8, 2.0, 5.0  $\mu\text{g}$  ที่มีต่ออัตราการหายใจของไมโทคอนเดรีย เมื่อใช้ succinate เป็นตัวตั้งตรง

ส่วนประกอบของปฏิกิริยา : 37.50 mM HEPES buffer, 1.88 mM  $\text{MgCl}_2$ , 86.25 mM KCl, 5.21 mM succinate, 13.02 mM sucrose และ ไมโทคอนเดรีย 2.49 mg protein/ml. ส่วนประกอบที่เติมตามลงไปอีกดังแสดงในรูป คือ 0.31 mM ADP + 0.62 mM PI, 0.06 mM DNP และ 6-deoxyclitoriaetal ความเข้มข้น 0.8, 2.0, 5.0  $\mu\text{g}$  ส่วนในกลุ่มควบคุมใช้ DMSO 10  $\mu\text{l}$ . ปริมาตรทั้งหมด 1.92 ml. อุณหภูมิ 37  $^{\circ}\text{C}$

อัตราการใช้ออกซิเจนของไมโทคอนเดรียในระยะต่างๆ แสดงเป็นตัวเฉปในวงเล็บคำนวณออกมาเป็นหน่วยเป็นจำนวน n atoms O/ml/min

สถาบันวิทยบริการ  
จุฬาลงกรณ์มหาวิทยาลัย



รูปที่ 25 Dose-response curve ของ 6-deoxylltoriacetal ในขนาดต่าง ๆ ที่มีต่ออัตราการหายใจของไมโทคอนเดรีย เมื่อใช้ succinate เป็นตัวกระตุ้น (A) และเมื่อคำนวณเป็นเปอร์เซ็นต์ (% Respiration) (B)

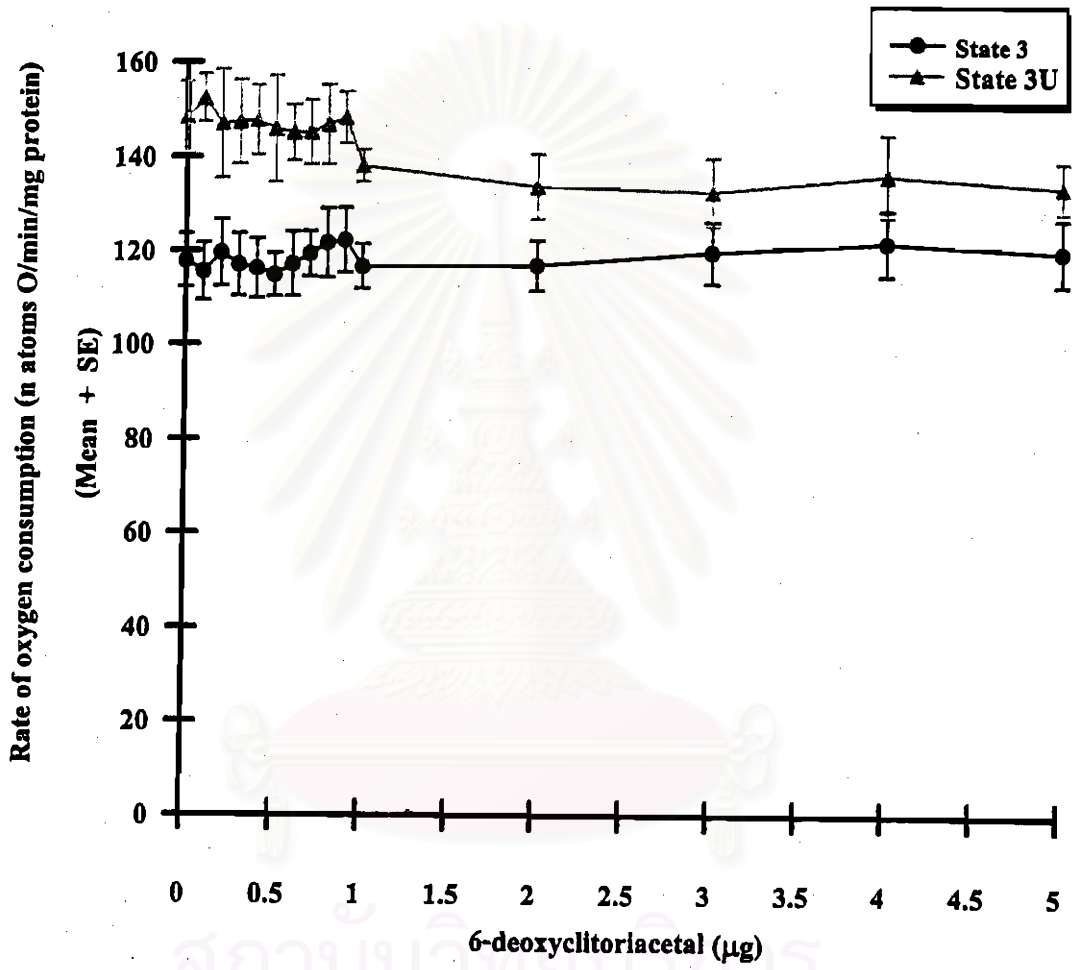
ส่วนประกอบของปฏิกิริยา : 37.50 mM HEPES buffer, 1.88 mM MgCl<sub>2</sub>, 86.25 mM KCl, 5.21 mM succinate, 13.02 mM sucrose , 0.31 mM ADP + 0.62 mM Pi, 0.06 mM DNP และ ไมโทคอนเดรียเฉลี่ย 2.05 mg protein/ml. 6-deoxylltoriacetal ขนาดต่าง ๆ ที่เติมลงไปดังแสดงในรูป ปริมาตรทั้งหมด 1.92 ml. อุณหภูมิ 37 °C

แต่ละจุดที่แสดงแทนค่าเฉลี่ย ± ความคลาดเคลื่อนมาตรฐานของค่าเฉลี่ยจาก 4 การทดลอง

n = 4 (\*) p < 0.05 เมื่อเปรียบเทียบกับ control

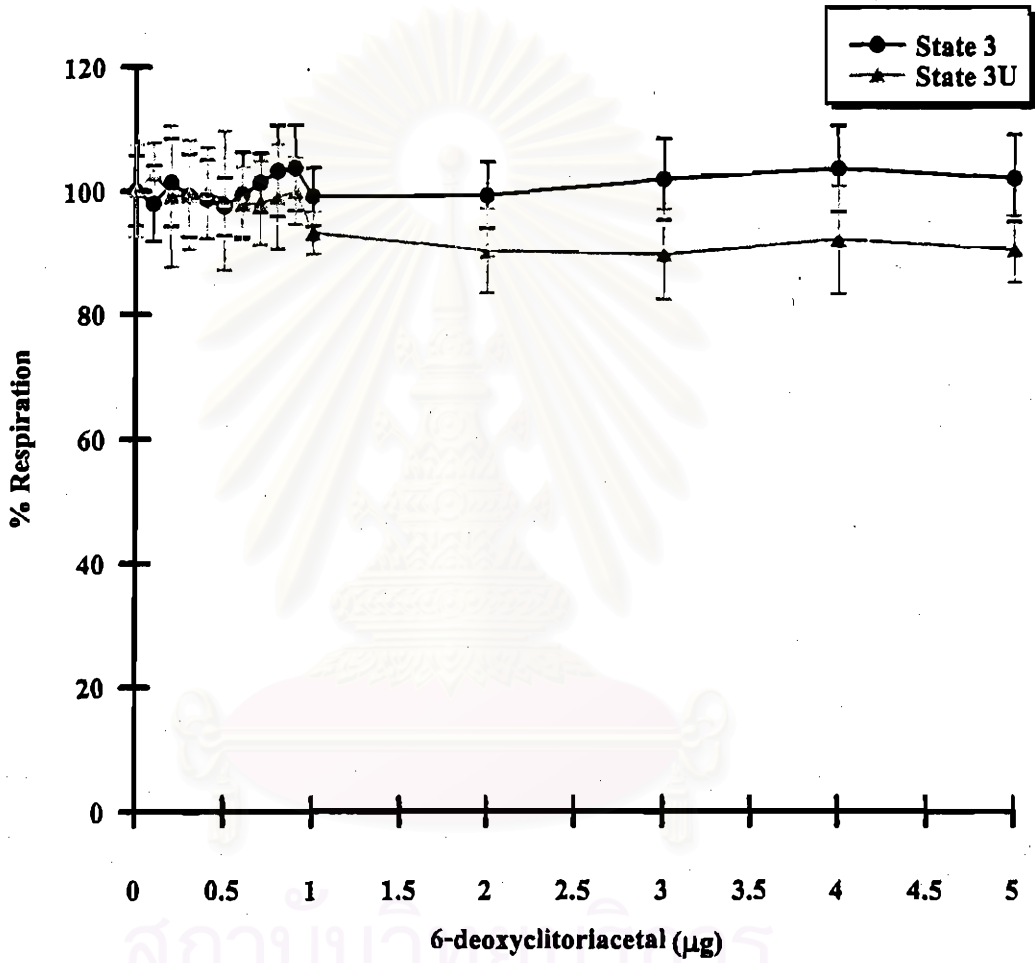
สถาบันวิทยบริการ  
จุฬาลงกรณ์มหาวิทยาลัย

A



สถาบันวิจัยบริการ  
จุฬาลงกรณ์มหาวิทยาลัย

B



สถาบันวิทยาศาสตร์  
จุฬาลงกรณ์มหาวิทยาลัย

ตารางที่ 4 ผลของ 6-deoxyclitoriacetal ต่อค่าดัชนีควบคุมการหายใจ (RCI) อัตราส่วน P/O และต่อ state 3 respiration เมื่อใช้ glutamate + malate เป็นสับสเตรท

| Experiments                         | RCI              | P/O             | Rate of oxygen consumption<br>(n atoms O/min/mg protein) |                               |
|-------------------------------------|------------------|-----------------|--|-------------------------------|
|                                     |                  |                 | state 3  | state 3U                      |
| 10 $\mu$ l DMSO<br>(control)        | 6.14 $\pm$ 0.43  | 2.72 $\pm$ 0.15 | 77.69 $\pm$ 8.83   | 99.87 $\pm$ 11.50             |
| 0.8 $\mu$ g<br>6-deoxyclitoriacetal | 3.60 $\pm$ 0.39* | 2.50 $\pm$ 0.18 | 40.79 $\pm$ 4.08*<br>(47.50%)                            | 34.11 $\pm$ 3.86*<br>(65.84%) |
| 2.0 $\mu$ g<br>6-deoxyclitoriacetal | 1.49 $\pm$ 0.46* | 0*              | 15.23 $\pm$ 4.55*<br>(80.40%)                            | 17.54 $\pm$ 3.75*<br>(82.43%) |
| 5.0 $\mu$ g<br>6-deoxyclitoriacetal | 0.77 $\pm$ 0.14* | 0*              | 7.18 $\pm$ 1.41*<br>(90.76%)                             | 8.99 $\pm$ 1.98*<br>(91.00%)  |

n = 4 (\*) p < 0.05 เมื่อเปรียบเทียบกับ control

ส่วนประกอบของปฏิกิริยา : 37.50 mM HEPES buffer, 1.88 mM MgCl<sub>2</sub>, 86.25 mM KCl, 5.21 mM potassium glutamate + 5.21 mM potassium malate, 13.02 mM sucrose และไมโทคอนเดรียเฉลี่ย 2.68 mg protein/ml. ส่วนประกอบที่เติมตามลงไปอีกดังแสดงในรูป คือ 0.31 mM ADP + 0.62 mM Pi, 0.06 mM DNP และ 6-deoxyclitoriacetal ขนาดต่าง ๆ ที่เติมลงไปดังแสดงในตาราง ส่วนในกลุ่มควบคุมใช้ DMSO 10  $\mu$ l. ปริมาตรทั้งหมด 1.92 ml. อุณหภูมิ 37 °C

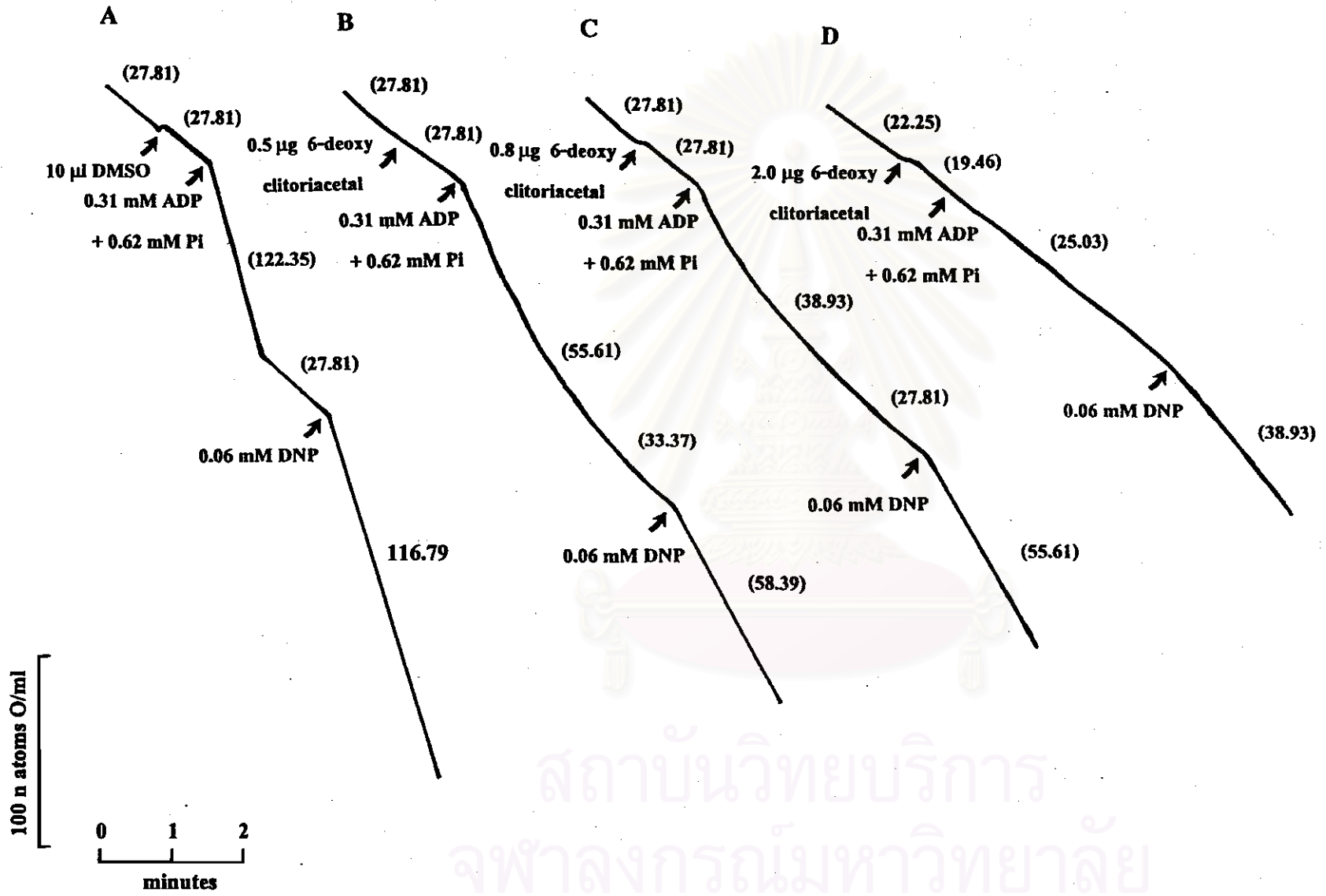
ค่าที่แสดงเป็นค่าเฉลี่ย  $\pm$  ความคลาดเคลื่อนมาตรฐานของค่าเฉลี่ยจาก 4 การทดลองและตัวเลขในวงเล็บแสดงเปอร์เซ็นต์การยับยั้งการหายใจของไมโทคอนเดรีย

รูปที่ 26 Tracing แสดงผลของ 6-deoxycyltorlaactal ในขนาด 0.5, 0.8, 2.0  $\mu\text{g}$  ที่มีต่ออัตราการหายใจของไมโทคอนเดรีย เมื่อใช้  $\alpha$ -ketoglutarate เป็นสับสเตรท

ส่วนประกอบของปฏิกิริยา : 37.50 mM HEPES buffer, 1.88 mM  $\text{MgCl}_2$ , 86.25 mM  $\text{KCl}$ , 5.21 mM  $\alpha$ -ketoglutarate, 13.02 mM sucrose และ ไมโทคอนเดรีย 1.91 mg protein/ml. ส่วนประกอบที่เติมตามลงไปอีกดังแสดงในรูป คือ 0.31 mM ADP + 0.62 mM Pi, 0.06 mM DNP และ 6-deoxycyltorlaactal ความเข้มข้น 0.5, 0.8, 2.0  $\mu\text{g}$  ส่วนในกลุ่มควบคุมใช้ DMSO 10  $\mu\text{l}$ . ปริมาตรทั้งหมด 1.92 ml. อุณหภูมิ 37  $^{\circ}\text{C}$

อัตราการใช้ออกซิเจนของไมโทคอนเดรียในระยะต่าง ๆ แสดงเป็นตัวเลขในวงเล็บคำนวณออกมา มีหน่วยเป็นจำนวน n atoms O/ml/min

สถาบันวิทยบริการ  
จุฬาลงกรณ์มหาวิทยาลัย



สถาบันวิทยบริการ  
จุฬาลงกรณ์มหาวิทยาลัย

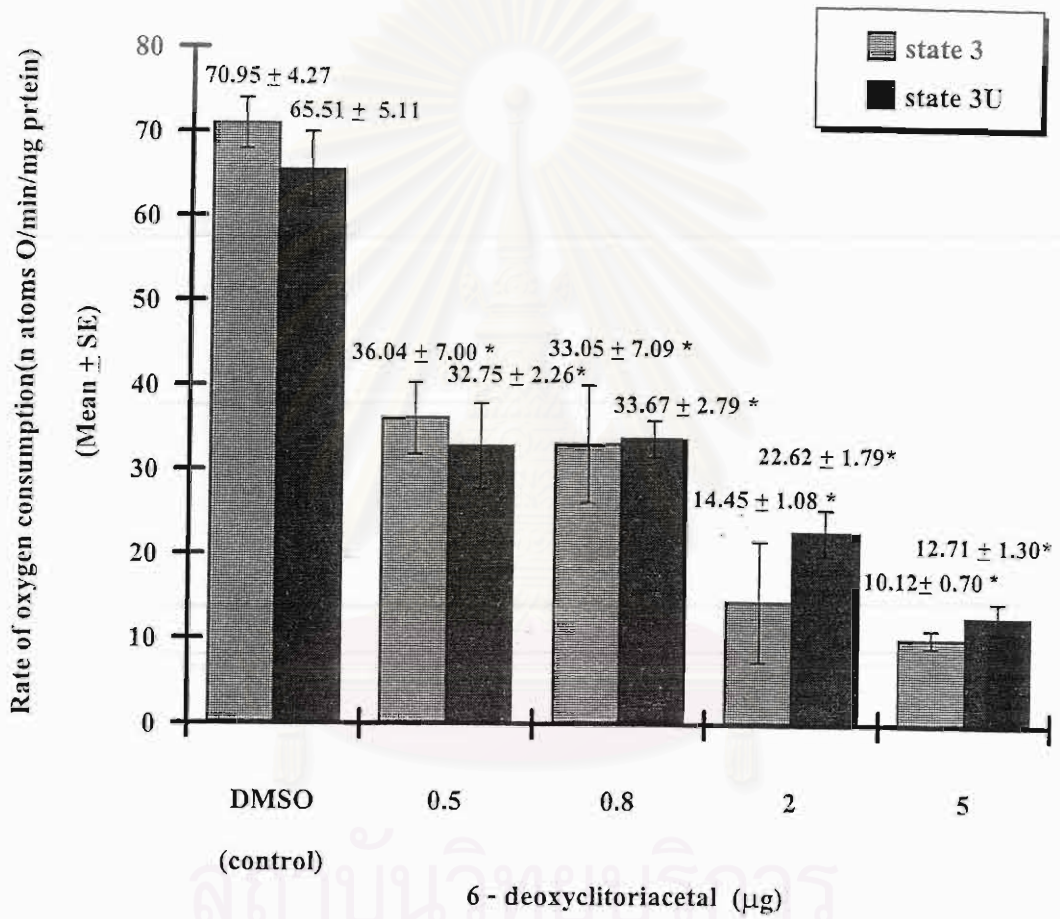
รูปที่ 27 กราฟแสดงผลของ 6-deoxyclitoriacetal ในขนาด 0.5, 0.8, 2.0, 5.0  $\mu\text{g}$  ที่มีต่ออัตราการหายใจของไมโทคอนเดรีย เมื่อใช้  $\alpha$ -ketoglutarate เป็นตัวตั้ง

ส่วนประกอบของปฏิกิริยา : 37.50 mM HEPES buffer, 1.88 mM  $\text{MgCl}_2$ , 86.25 mM  $\text{KCl}$ , 5.21 mM  $\alpha$ -ketoglutarate, 13.02 mM sucrose และ ไมโทคอนเดรียเฉลี่ย 2.00 mg protein/ml. ส่วนประกอบที่เติมตามลงไปอีกดังแสดงในรูป คือ 0.31 mM ADP + 0.62 mM Pi, 0.06 mM DNP และ 6-deoxyclitoriacetal ขนาดต่าง ๆ ที่เติมลงไปดังแสดงในรูป ส่วนในกลุ่มควบคุมใช้ DMSO 10  $\mu\text{l}$ . ปริมาตรทั้งหมด 1.92 ml. อุณหภูมิ 37  $^{\circ}\text{C}$

แต่ละจุดที่แสดงแทนค่าเฉลี่ย  $\pm$  ความคลาดเคลื่อนมาตรฐานของค่าเฉลี่ยจาก 4 การทดลอง

n = 4 (\*)  $p < 0.05$  เมื่อเปรียบเทียบกับ control

สถาบันวิทยบริการ  
จุฬาลงกรณ์มหาวิทยาลัย



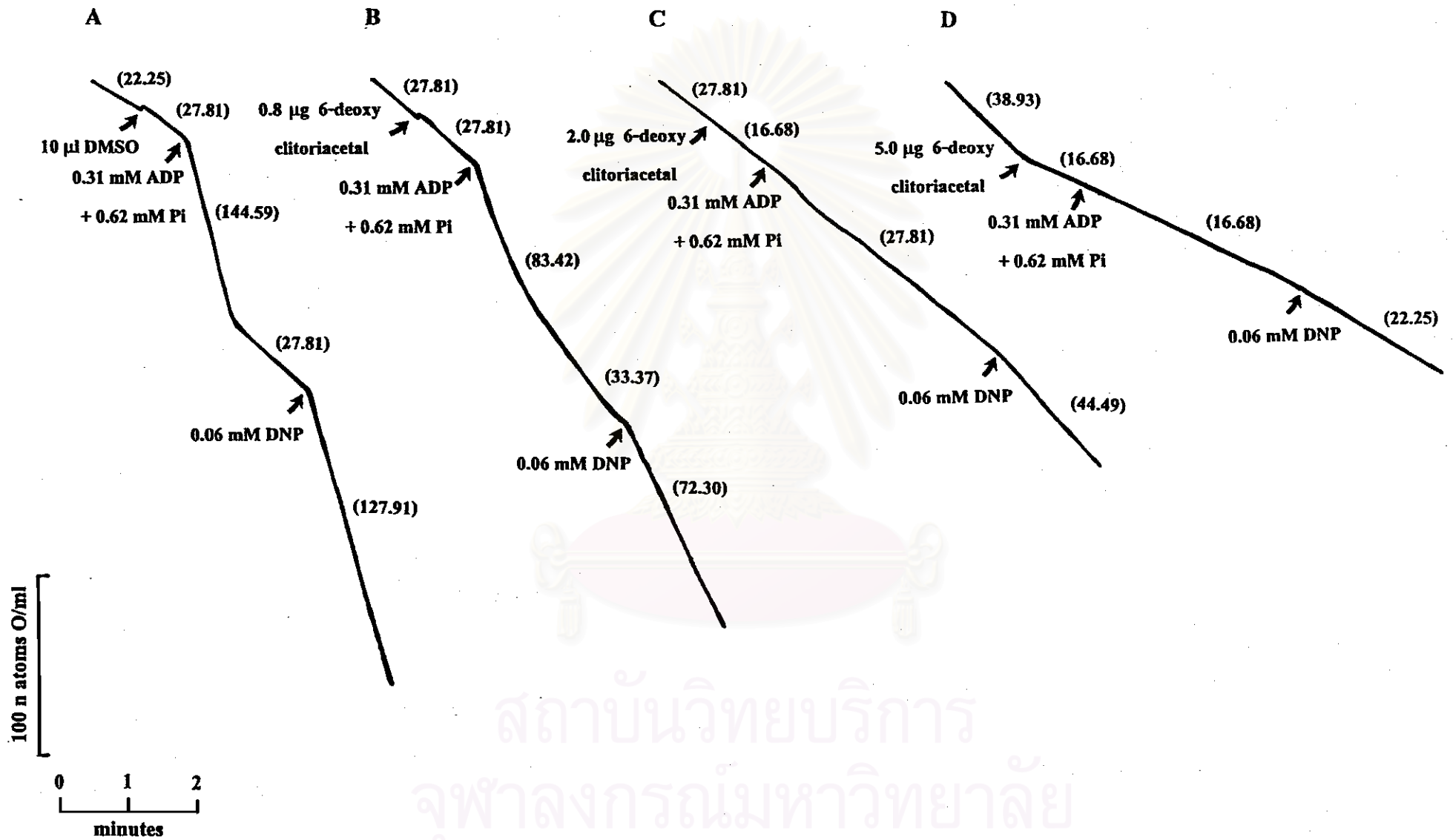
สถาบันวิจัยจุลชีววิทยา  
จุฬาลงกรณ์มหาวิทยาลัย

รูปที่ 28 Tracing แสดงผลของ 6-deoxycyltoriacetal ในขนาด 0.8, 2.0, 5.0  $\mu\text{g}$  ที่มีต่ออัตราการหายใจของไมโทคอนเดรีย เมื่อใช้  $\beta$  - hydroxybutarate เป็นสับสเตรท

ส่วนประกอบของปฏิกิริยา : 37.50 mM HEPES buffer, 1.88 mM  $\text{MgCl}_2$ , 86.25 mM  $\text{KCl}$ , 5.21 mM  $\beta$  - hydroxybutarate , 13.02 mM sucrose และ ไมโทคอนเดรีย 2.30 mg protein/ml. ส่วนประกอบที่เติมตามลงไปอีกดังแสดงในรูป คือ 0.31 mM ADP + 0.62 mM Pi, 0.06 mM DNP และ 6-deoxycyltoriacetal ความเข้มข้น 0.8, 2.0, 5.0  $\mu\text{g}$  ส่วนในกลุ่มควบคุมใช้ DMSO 10  $\mu\text{l}$ . ปริมาตรทั้งหมด 1.92 ml. อุณหภูมิ 37 °C

อัตราการใช้ออกซิเจนของไมโทคอนเดรียในระยะต่าง ๆ แสดงเป็นตัวเลขในวงเล็บคำนวณออกมาเป็นหน่วยเป็นจำนวน n atoms O/ml/min

สถาบันวิทยบริการ  
จุฬาลงกรณ์มหาวิทยาลัย



สถาบันวิทยบริการ  
จุฬาลงกรณ์มหาวิทยาลัย

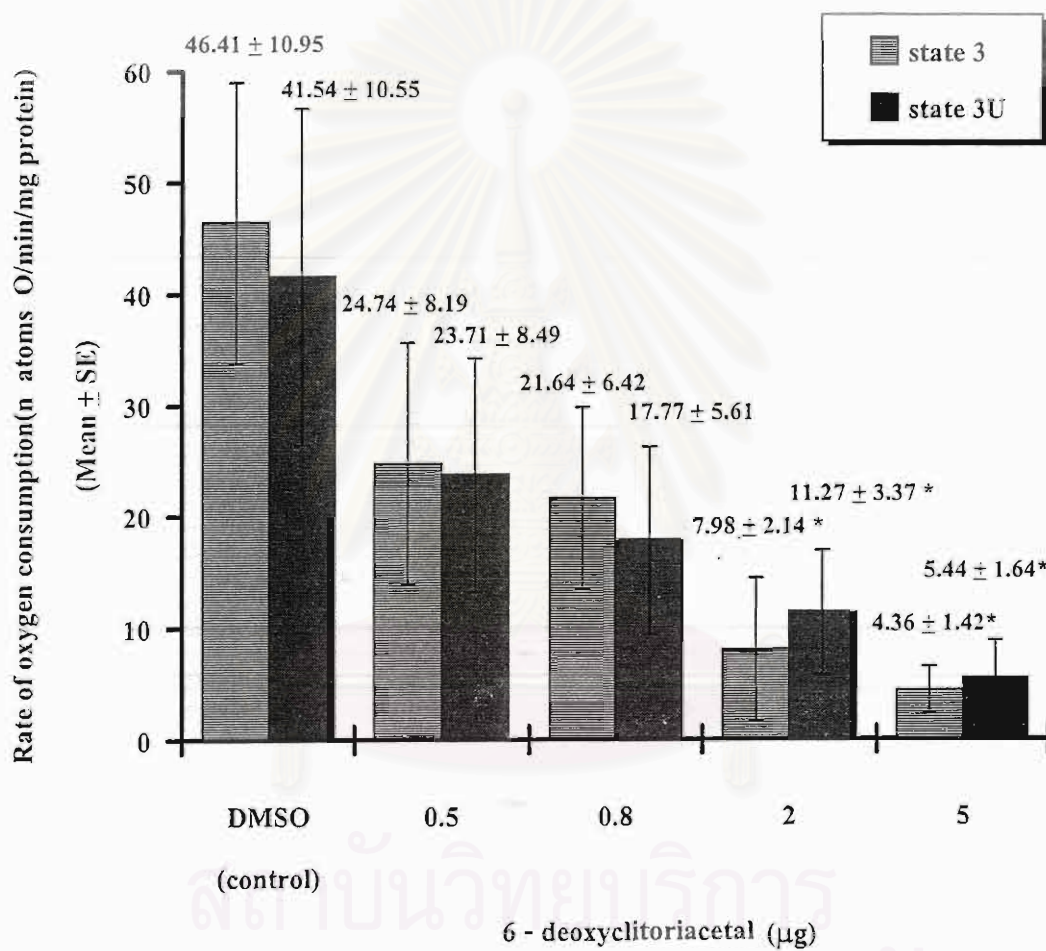
รูปที่ 29 กราฟแสดงผลของ 6-deoxyclitoriaetal ในขนาด 0.5, 0.8, 2.0, 5.0  $\mu\text{g}$  ที่มีต่ออัตราการหายใจของไมโทคอนเดรีย เมื่อใช้  $\beta$  - hydroxybutarate เป็นสับสเตรท

ส่วนประกอบของปฏิกิริยา : 37.50 mM HEPES buffer, 1.88 mM  $\text{MgCl}_2$ , 86.25 mM KCl, 5.21 mM  $\beta$  - hydroxybutarate , 13.02 mM sucrose และ ไมโทคอนเดรีย 2.49 mg protein/ml. ส่วนประกอบที่เติมตามลงไปอีกดังแสดงในรูป คือ 0.31 mM ADP + 0.62 mM Pi, 0.06 mM DNP และ 6-deoxyclitoriaetal ขนาดต่าง ๆ ที่เติมลงไปดังแสดงในรูป ส่วนในกลุ่มควบคุมใช้ DMSO 10  $\mu\text{l}$ . ปริมาตรทั้งหมด 1.92 ml. อุณหภูมิ 37  $^{\circ}\text{C}$

แต่ละจุดที่แสดงแทนค่าเฉลี่ย  $\pm$  ความคลาดเคลื่อนมาตรฐานของค่าเฉลี่ยจาก 4 การทดลอง

n = 4 (\*)  $p < 0.05$  เมื่อเปรียบเทียบกับ control

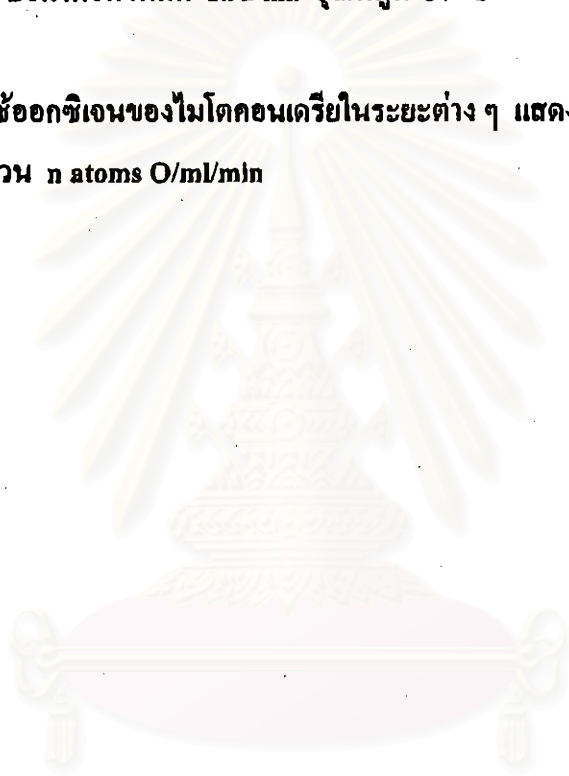
สถาบันวิทยบริการ  
จุฬาลงกรณ์มหาวิทยาลัย



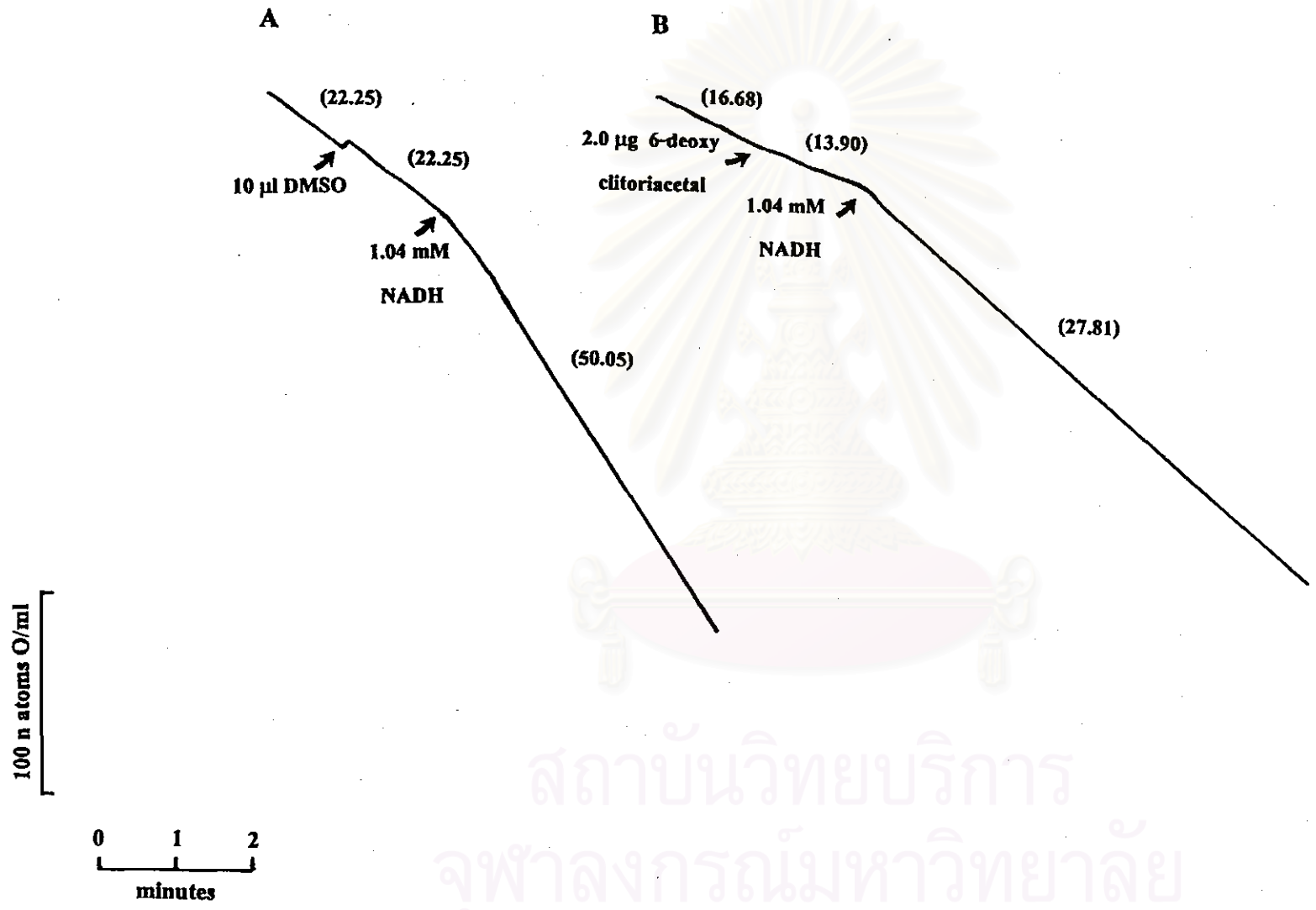
รูปที่ 30 Tracing แสดงผลของ 6-deoxyclitoriaetal ในขนาด 2.0  $\mu\text{g}$  ที่มีต่อ state 3U respiration ของ osmotic-shocked mitochondria เมื่อใช้ NADH เป็นตัวสเตรท

ส่วนประกอบของปฏิกิริยา : 37.50 mM HEPES buffer, 1.88 mM  $\text{MgCl}_2$ , 86.25 mM KCl, 1.04 mM NADH, 0.52 mM sucrose และ ไมโทคอนเดรีย 1.52 mg proteln/ml. ส่วนประกอบที่เติมตามลงไปอีกดังแสดงในรูป คือ 6-deoxyclitoriaetal ความเข้มข้น 2.0  $\mu\text{g}$  ส่วนในกลุ่มควบคุมใช้ DMSO 10  $\mu\text{l}$ . ปริมาตรทั้งหมด 1.92 ml. อุณหภูมิ 37  $^{\circ}\text{C}$

อัตราการใช้ออกซิเจนของไมโทคอนเดรียในระยะต่าง ๆ แสดงเป็นตัวเลขในวงเล็บคำนวณออกมา มีหน่วยเป็นจำนวน  $n \text{ atoms O/ml/min}$



สถาบันวิทยบริการ  
จุฬาลงกรณ์มหาวิทยาลัย



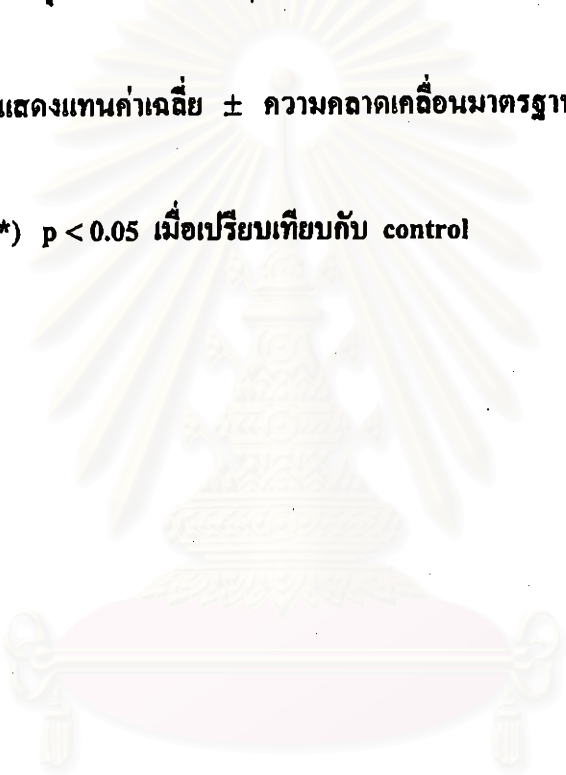
สถาบันวิทยบริการ  
จุฬาลงกรณ์มหาวิทยาลัย

รูปที่ 31 กราฟแสดงผลของ 6-dexyclitoriaectal ในขนาด 0.5, 0.8, 2.0, 5.0  $\mu\text{g}$  ที่มีต่อ state 3U respiration ของ osmotic-shocked mitochondria เมื่อใช้ NADH เป็นสับสเตรท

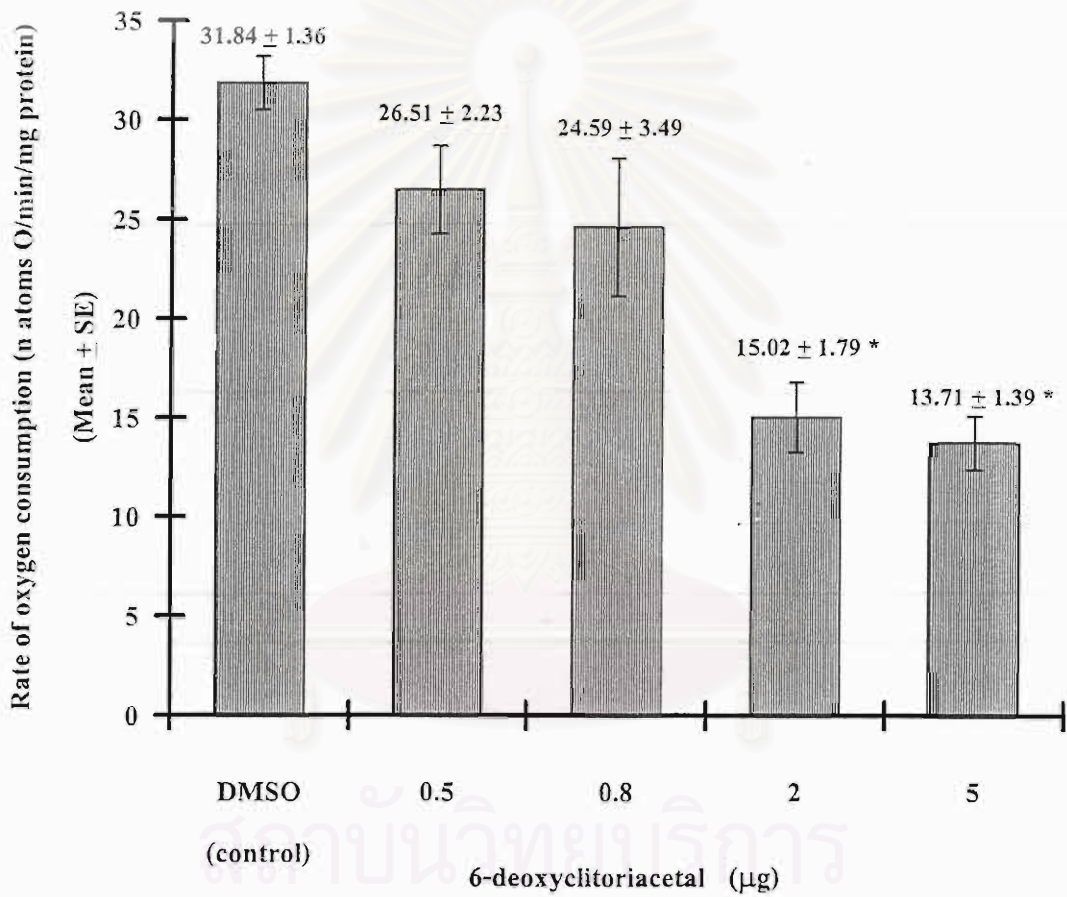
ส่วนประกอบของปฏิกิริยา : 37.50 mM HEPES buffer, 1.88 mM  $\text{MgCl}_2$ , 86.25 mM KCl, 1.04 mM NADH, 0.52 mM sucrose และ ไมโทคอนเดรียเฉลี่ย 1.72 mg protein/ml. ส่วนประกอบที่เติมตามลงไปอีกดังแสดงในรูป คือ 6-deoxyclitoriacetal ขนาดต่าง ๆ ที่เติมลงไปดังแสดงในรูป. ส่วนในกลุ่มควบคุมใช้ DMSO 10  $\mu\text{l}$ . ปริมาตรทั้งหมด 1.92 ml. อุณหภูมิ 37  $^{\circ}\text{C}$

แต่ละจุดที่แสดงแทนค่าเฉลี่ย  $\pm$  ความคลาดเคลื่อนมาตรฐานของค่าเฉลี่ยจาก 4 การทดลอง

n = 4 (\*) p < 0.05 เมื่อเปรียบเทียบกับ control



สถาบันวิทยบริการ  
จุฬาลงกรณ์มหาวิทยาลัย



ตารางที่ 5 ผลของ rotenone ที่มีผลในการออกฤทธิ์ร่วมกับ 6-deoxyclitoriacetal ในขนาด 0.8, 2.0, 5.0  $\mu\text{g}$  ที่มีผลยับยั้งอัตราการหายใจของไมโทคอนเดรียใน state 3 และ state 3U เมื่อใช้ glutamate + malate เป็นสับสเตรท เป็นสับสเตรท

| Experiments  | Rate of oxygen consumption<br>(n atoms O/min/mg protein) |                   |
|--|--|-------------------|
|  | State 3  | State 3U          |
| DMSO (control)   | 57.31 $\pm$ 5.69   | 72.52 $\pm$ 4.82  |
| 20 ng rotenone   | 24.88 $\pm$ 5.70*  | 31.97 $\pm$ 8.72* |
| 0.5 $\mu\text{g}$ 6-deoxyclitoriacetal (0.7 $\mu\text{M}$ )  | 42.11 $\pm$ 4.77   | 33.59 $\pm$ 6.39* |
| 0.5 $\mu\text{g}$ 6-deoxyclitoriacetal + 20 ng rotenone      | 11.07 $\pm$ 1.98*  | 14.13 $\pm$ 2.43* |
| 0.8 $\mu\text{g}$ 6-deoxyclitoriacetal (1.11 $\mu\text{M}$ ) | 35.43 $\pm$ 6.00*  | 24.98 $\pm$ 4.23* |
| 0.8 $\mu\text{g}$ 6-deoxyclitoriacetal + 20 ng rotenone      | 11.82 $\pm$ 4.00*  | 14.42 $\pm$ 4.54* |
| 2.0 $\mu\text{g}$ 6-deoxyclitoriacetal (2.79 $\mu\text{M}$ ) | 16.52 $\pm$ 4.13*  | 17.17 $\pm$ 2.09* |
| 2.0 $\mu\text{g}$ 6-deoxyclitoriacetal + 20 ng rotenone      | 8.42 $\pm$ 3.11*   | 9.96 $\pm$ 3.45*  |
| 5.0 $\mu\text{g}$ 6-deoxyclitoriacetal (6.96 $\mu\text{M}$ ) | 6.99 $\pm$ 0.76*   | 8.71 $\pm$ 1.07*  |
| 5.0 $\mu\text{g}$ 6-deoxyclitoriacetal + 20 ng rotenone      | 8.67 $\pm$ 2.13*   | 9.89 $\pm$ 2.33*  |

n = 4 (\*) p < 0.05 เมื่อเปรียบเทียบกับ control

ส่วนประกอบของปฏิกิริยา : 37.50 mM HEPES buffer, 1.88 mM  $\text{MgCl}_2$ , 86.25 mM KCl, 5.21 mM potassium glutamate + 5.21 mM potassium malate, 13.02 mM sucrose และ ไมโทคอนเดรียเฉลี่ย 3.06 mg protein/ml. ส่วนประกอบที่เติมตามลงไปอีกคือ 0.31 mM ADP + 0.62 mM Pi, 0.06 mM DNP, rotenone ขนาด 20 ng และ 6-deoxyclitoriacetal ขนาดต่าง ๆ ที่เติมลงไปดังแสดงในตาราง ส่วนในกลุ่มควบคุมใช้ DMSO 10  $\mu\text{l}$ . ปริมาตรทั้งหมด 1.92 ml. อุณหภูมิ 37°C

ค่าที่แสดงเป็นค่าเฉลี่ย  $\pm$  ความคลาดเคลื่อนมาตรฐานของค่าเฉลี่ยจาก 4 การทดลอง

ตารางที่ 6 ผลของการเปลี่ยนแปลง pH ของ incubation medium ที่มีต่อการออกฤทธิ์ของ 6-deoxyclitoriacetal ในขนาด 0.8, 2.0, 5.0  $\mu\text{g}$  ต่อ state 3 และ state 3U respiration ของไมโทคอนเดรีย เมื่อใช้ glutamate + malate เป็นสับสเตรท

| Experiments  | Rate of oxygen consumption<br>(n atoms O/min/mg protein) |                   |
|--|--|-------------------|
|  | State 3  | State 3U          |
| <b>pH 6.8</b>  |  |                   |
| DMSO (control)   | 63.19 $\pm$ 9.67   | 64.24 $\pm$ 13.43 |
| 2 $\mu\text{g}$ 6-deoxyclitoriacetal (2.79 $\mu\text{M}$ ) | 8.97 $\pm$ 0.91*   | 10.99 $\pm$ 1.27* |
| 5 $\mu\text{g}$ 6-deoxyclitoriacetal (6.96 $\mu\text{M}$ ) | 5.28 $\pm$ 0.64*   | 5.98 $\pm$ 0.56*  |
| <b>pH 7.2</b>  |  |                   |
| DMSO (control)   | 39.63 $\pm$ 5.57   | 45.80 $\pm$ 2.14  |
| 2 $\mu\text{g}$ 6-deoxyclitoriacetal (2.79 $\mu\text{M}$ ) | 9.17 $\pm$ 1.16*   | 12.44 $\pm$ 2.04* |
| 5 $\mu\text{g}$ 6-deoxyclitoriacetal (6.96 $\mu\text{M}$ ) | 6.30 $\pm$ 0.53*   | 7.51 $\pm$ 0.70*  |
| <b>pH 7.6</b>  |  |                   |
| DMSO (control)   | 53.31 $\pm$ 11.25  | 84.99 $\pm$ 13.21 |
| 2 $\mu\text{g}$ 6-deoxyclitoriacetal (2.79 $\mu\text{M}$ ) | 12.79 $\pm$ 2.32*  | 15.87 $\pm$ 2.92* |
| 5 $\mu\text{g}$ 6-deoxyclitoriacetal (6.96 $\mu\text{M}$ ) | 7.53 $\pm$ 1.35*   | 12.13 $\pm$ 3.62* |

n = 4 (\*) p < 0.05 เมื่อเปรียบเทียบกับ control

ส่วนประกอบของปฏิกิริยา : 37.50 mM HEPES buffer, 1.88 mM  $\text{MgCl}_2$ , 86.25 mM KCl, (pH 6.8, 7.2, 7.6), 5.21 mM potassium glutamate + 5.21 mM potassium malate, 13.02 mM sucrose และไมโทคอนเดรียเฉลี่ย 2.81 mg protein/ml. ส่วนประกอบที่เติมตามลงไปอีกคือ 0.31 mM ADP + 0.62 mM Pi, 0.06 mM DNP และ 6-deoxyclitoriacetal ขนาดต่าง ๆ ที่เติมลงไปดังแสดงในตาราง ส่วนในกลุ่มควบคุมใช้ DMSO 10  $\mu\text{l}$ . ปริมาตรทั้งหมด 1.92 ml. อุณหภูมิ 37 °C

ค่าที่แสดงเป็นค่าเฉลี่ย  $\pm$  ความคลาดเคลื่อนมาตรฐานของค่าเฉลี่ยจาก 4 การทดลอง

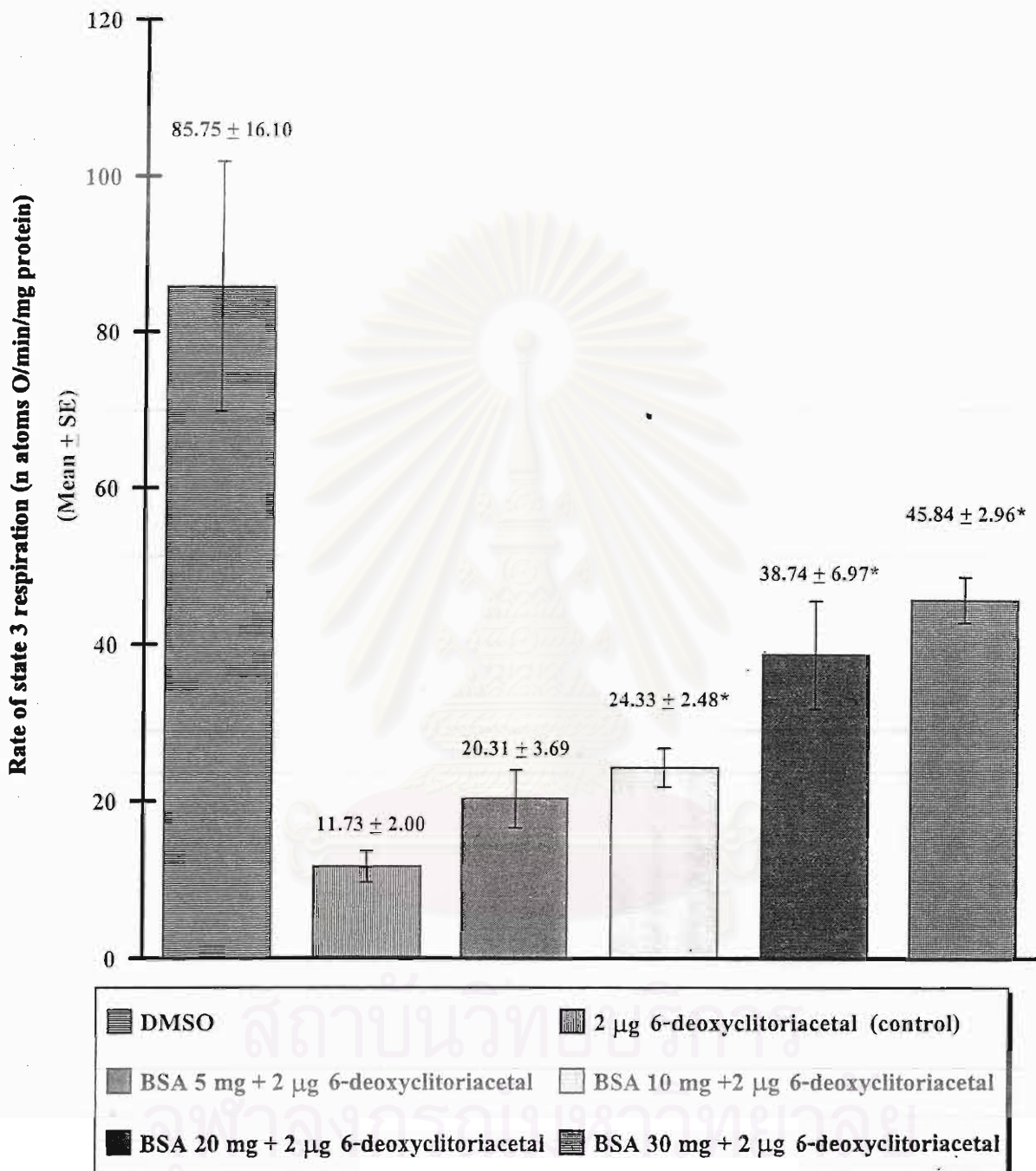
รูปที่ 32 กราฟแสดงผลของ Bovine serum albumin (BSA) ที่มีต่อการออกฤทธิ์ของ 6-deoxyclitoriacetal ในขนาด 2.0  $\mu\text{g}$  ต่ออัตราการหายใจของไมโทคอนเดรีย เมื่อใช้ glutamate + malate เป็นสับสเตรท

ส่วนประกอบของปฏิกิริยา : 37.50 mM HEPES buffer, 1.88 mM  $\text{MgCl}_2$ , 86.25 mM KCl, 5.21 mM potassium glutamate + 5.21 mM potassium malate, 13.02 mM sucrose และ ไมโทคอนเดรียเฉลี่ย 2.61 mg protein/ml. ส่วนประกอบที่เติมตามลงไปอีกคือ 0.31 mM ADP + 0.62 mM Pi, 0.06 mM DNP, BSA 5,10 และ 20 mg. และ 6-deoxyclitoriacetal ขนาด 2.0  $\mu\text{g}$  ส่วนในกลุ่มควบคุมใช้ DMSO 10  $\mu\text{l}$ . ปริมาตรทั้งหมด 1.92 ml. อุณหภูมิ 37 °C

แต่ละจุดที่แสดงแทนค่าเฉลี่ย  $\pm$  ความคลาดเคลื่อนมาตรฐานของค่าเฉลี่ยจาก 4 การทดลอง

n = 4 (\*)  $p < 0.05$  เมื่อเปรียบเทียบกับ control

สถาบันวิทยบริการ  
จุฬาลงกรณ์มหาวิทยาลัย

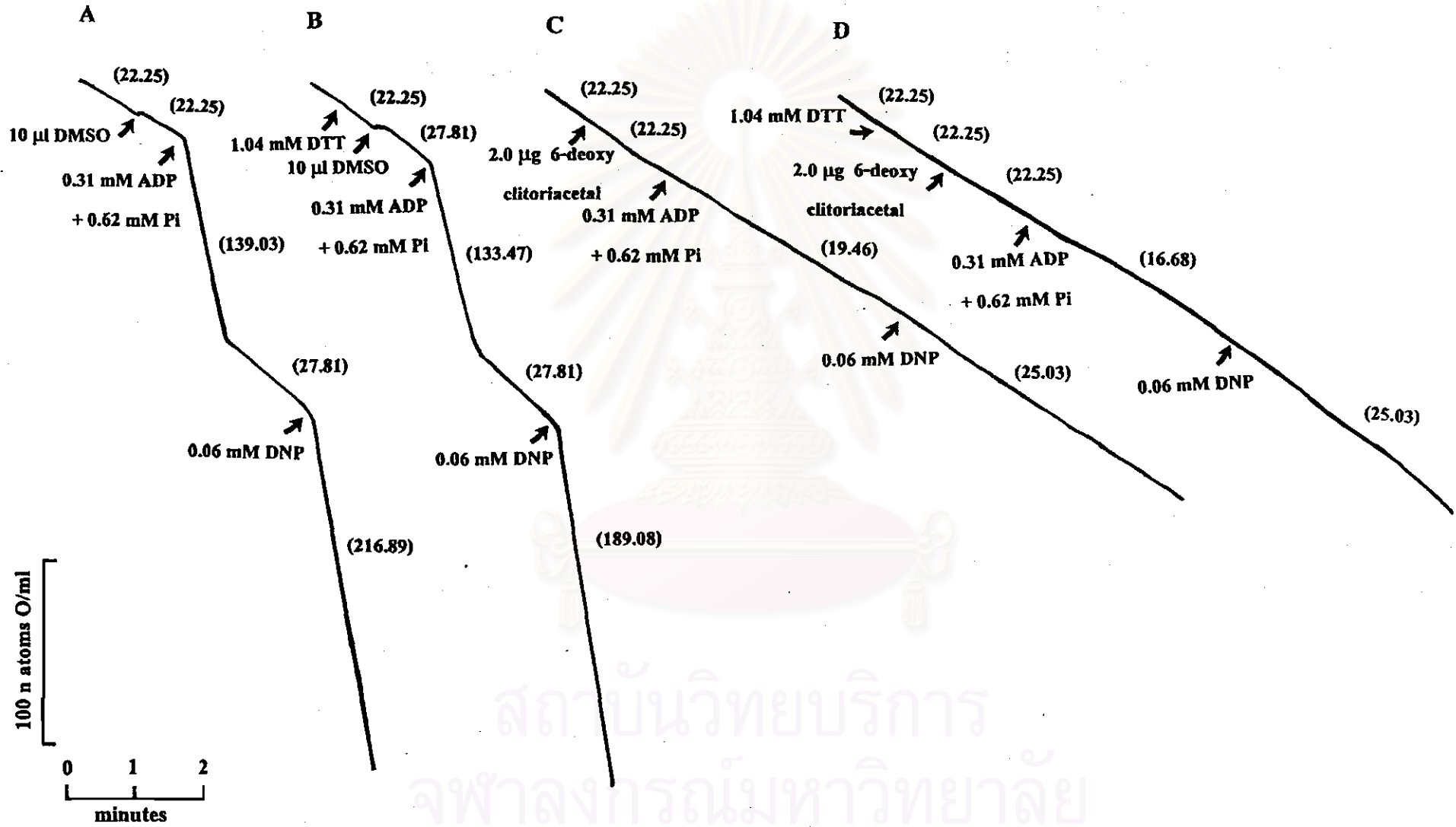


รูปที่ 33 Tracing แสดงผลของ dithiothreitol (DTT) ที่มีต่อการออกฤทธิ์ของ 6-deoxyclitoriacetal ในขนาด 2.0  $\mu\text{g}$  ต่ออัตราการหายใจของไมโทคอนเดรีย เมื่อใช้ glutamate + malate เป็น สับสเตรท

ส่วนประกอบของปฏิกิริยา : 37.50 mM HEPES buffer, 1.88 mM  $\text{MgCl}_2$ , 86.25 mM  $\text{KCl}$ , 5.21 mM potassium glutamate + 5.21 mM potassium malate, 13.02 mM sucrose และ ไมโทคอนเดรีย 1.29 mg protein/ml. ส่วนประกอบที่เติมตามลงไปอีกคือ 0.31 mM ADP + 0.62 mM Pi, 0.06 mM DNP, 1.05 mM DTT และ 6-deoxyclitoriacetal ขนาด 2.0  $\mu\text{g}$  ส่วนในกลุ่มควบคุม ใช้ DMSO 10  $\mu\text{l}$ . ปริมาตรทั้งหมด 1.92 ml. อุณหภูมิ 37  $^{\circ}\text{C}$

อัตราการใช้ออกซิเจนของไมโทคอนเดรียในระยะต่าง ๆ แสดงเป็นตัวเลขในวงเล็บคำนวณ ออกมา มีหน่วยเป็นจำนวน n atoms O/ml/min

สถาบันวิทยบริการ  
จุฬาลงกรณ์มหาวิทยาลัย



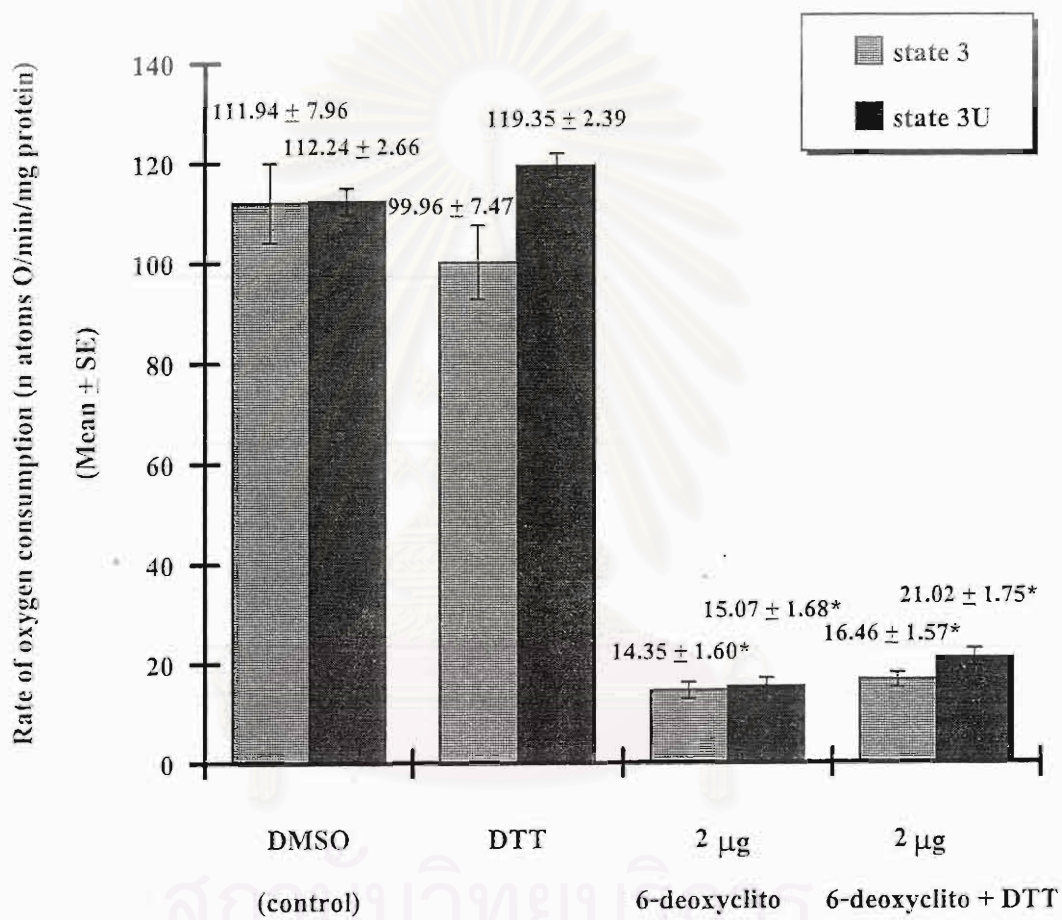
รูปที่ 34 กราฟแสดงผลของ dithiothreitol (DTT) ที่มีต่อการออกฤทธิ์ของ 6-deoxycltoriacetal ในขนาด 2.0  $\mu\text{g}$  ต่อการอัตราหายใจของไมโทคอนเดรีย เมื่อใช้ glutamate + malate เป็นสับสเตรท

ส่วนประกอบของปฏิกิริยา : 37.50 mM HEPES buffer, 1.88 mM  $\text{MgCl}_2$ , 86.25 mM KCl, 5.21 mM potassium glutamate + 5.21 mM potassium malate, 13.02 mM sucrose และไมโทคอนเดรียเฉลี่ย 1.39 mg protein/ml. ส่วนประกอบที่เติมตามลงไปอีกคือ 0.31 mM ADP + 0.62 mM Pi, 0.06 mM DNP, 1.05 mM DTT และ 6-deoxycltoriacetal ขนาด 2.0  $\mu\text{g}$  ส่วนในกลุ่มควบคุมใช้ DMSO 10  $\mu\text{l}$ . ปริมาตรทั้งหมด 1.92 ml. อุณหภูมิ 37 °C

แต่ละจุดที่แสดงแทนค่าเฉลี่ย  $\pm$  ความคลาดเคลื่อนมาตรฐานของค่าเฉลี่ยจาก 4 การทดลอง

n = 4 (\*)  $p < 0.05$  เมื่อเปรียบเทียบกับ control

สถาบันวิทยบริการ  
จุฬาลงกรณ์มหาวิทยาลัย



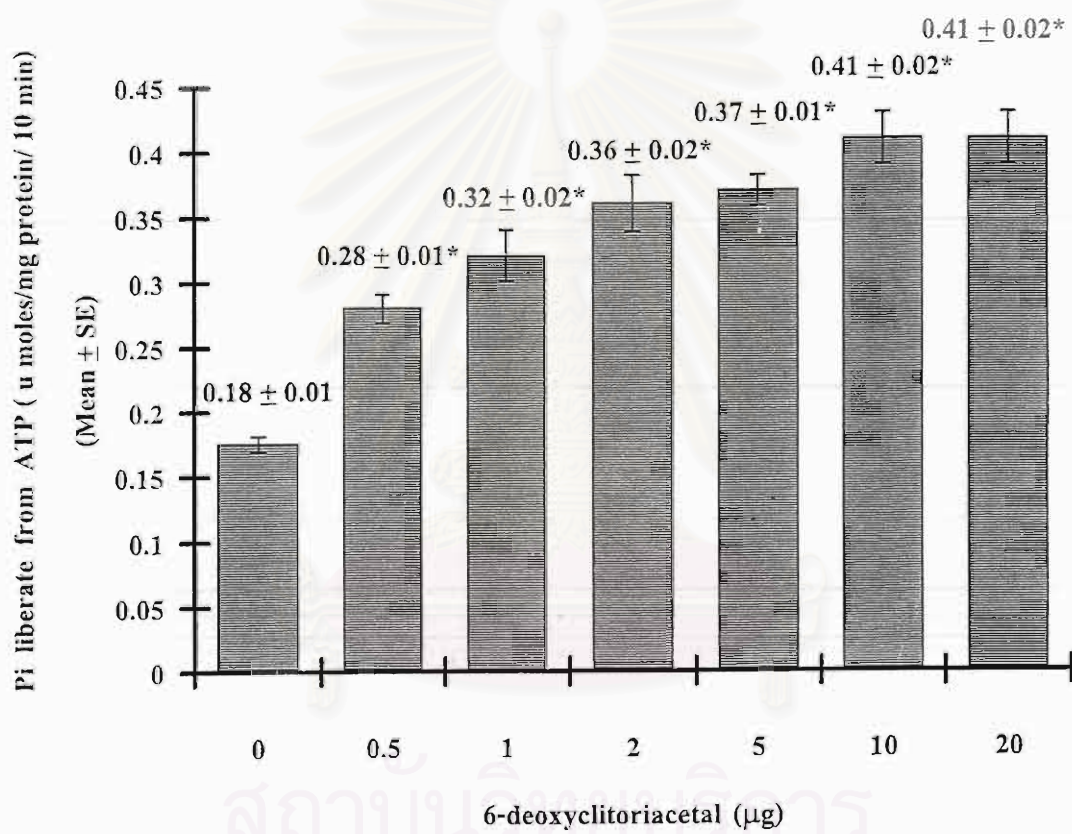
รูปที่ 35 กราฟแสดงผลของ 6-deoxyclitriacetal ในขนาดต่าง ๆ ที่มีต่อการกระตุ้น ATPase activity ไมโทคอนเดรีย

ส่วนประกอบของปฏิกิริยา : 37.50 mM HEPES buffer, 1.88 mM MgCl<sub>2</sub>, 86.25 mM KCl, 16.78 mM sucrose และ ไมโทคอนเดรียเฉลี่ย 4.54 mg protein/ml. ส่วนประกอบที่เติมตามลงไปคือ 5.03 mM ATP และ 6-deoxyclitriacetal ขนาดต่าง ๆ ที่เติมลงไปดังแสดงในรูป ปริมาตรทั้งหมด 2.98 ml. อุณหภูมิ 37 °C

แต่ละจุดที่แสดงแทนค่าเฉลี่ย  $\pm$  ความคลาดเคลื่อนมาตรฐานของค่าเฉลี่ยจาก 4 การทดลอง

n = 4 (\*) p < 0.05 เมื่อเปรียบเทียบกับ control

สถาบันวิทยบริการ  
จุฬาลงกรณ์มหาวิทยาลัย



สถาบันวิจัยวิชาการ  
จุฬาลงกรณ์มหาวิทยาลัย

ตารางที่ 7 ผลของ oligomycin และ atractyloside ที่มีต่อการออกฤทธิ์ของ 6-deoxyclitoriacetal ในขนาด 2.0, 5.0 และ 20  $\mu\text{g}$  ในการกระตุ้น ATPase activity ของไมโทคอนเดรีย เมื่อเทียบกับมีหรือไม่มี DNP

| Experiments   | Pi liberated from ATP<br>( $\mu$ moles/mg protein/10 min) |
|---|---|
| <b>With 0.10 mM DNP</b>   |   |
| 0.10 mM DNP   | 1.5983 $\pm$ 0.143  |
| DMSO (control)  | 1.8037 $\pm$ 0.156  |
| 10 $\mu\text{g}$ oligomycin   | 0.3262 $\pm$ 0.018*                                       |
| 100 $\mu\text{g}$ atractyloside   | 0.6447 $\pm$ 0.052*                                       |
| <b>No DNP</b>   |   |
| none  | 0.1756 $\pm$ 0.006  |
| DMSO  | 0.1988 $\pm$ 0.018  |
| 5 $\mu\text{g}$ 6-deoxyclitoriacetal (6.96 $\mu\text{M}$ ) (control)    | 0.3747 $\pm$ 0.012  |
| 5 $\mu\text{g}$ 6-deoxyclitoriacetal + 10 $\mu\text{g}$ oligomycin      | 0.2593 $\pm$ 0.025*                                       |
| 5 $\mu\text{g}$ 6-deoxyclitoriacetal + 100 $\mu\text{g}$ atractyloside  | 0.2996 $\pm$ 0.024*                                       |
| 20 $\mu\text{g}$ 6-deoxyclitoriacetal (27.85 $\mu\text{M}$ ) (control)  | 0.4120 $\pm$ 0.018  |
| 20 $\mu\text{g}$ 6-deoxyclitoriacetal + 10 $\mu\text{g}$ oligomycin     | 0.2826 $\pm$ 0.030*                                       |
| 20 $\mu\text{g}$ 6-deoxyclitoriacetal + 100 $\mu\text{g}$ atractyloside | 0.3876 $\pm$ 0.056 NS                                     |

n = 4 (\*) p < 0.05 เมื่อเปรียบเทียบกับ control

NS p > 0.05 เมื่อเปรียบเทียบกับ control

ส่วนประกอบของปฏิกิริยา : 37.50 mM HEPES buffer, 1.88 mM  $MgCl_2$ , 86.25 mM KCl, 16.78 mM sucrose และ ไมโทคอนเดรียเฉลี่ย 4.50 mg protein/ml. ส่วนประกอบที่เติมตามลงไปคือ 5.03 mM ATP, 0.10 mM DNP, DMSO, 10  $\mu$ g oligomycin, 100  $\mu$ g atractyloside และ 6-deoxyclitoriacetal ขนาด 2.0, 5.0 และ 20  $\mu$ g ปริมาตรทั้งหมด 2.98 ml. อุณหภูมิ 37 °C

แต่ละจุดที่แสดงแทนค่าเฉลี่ย  $\pm$  ความคลาดเคลื่อนมาตรฐานของค่าเฉลี่ยจาก 4 การทดลอง



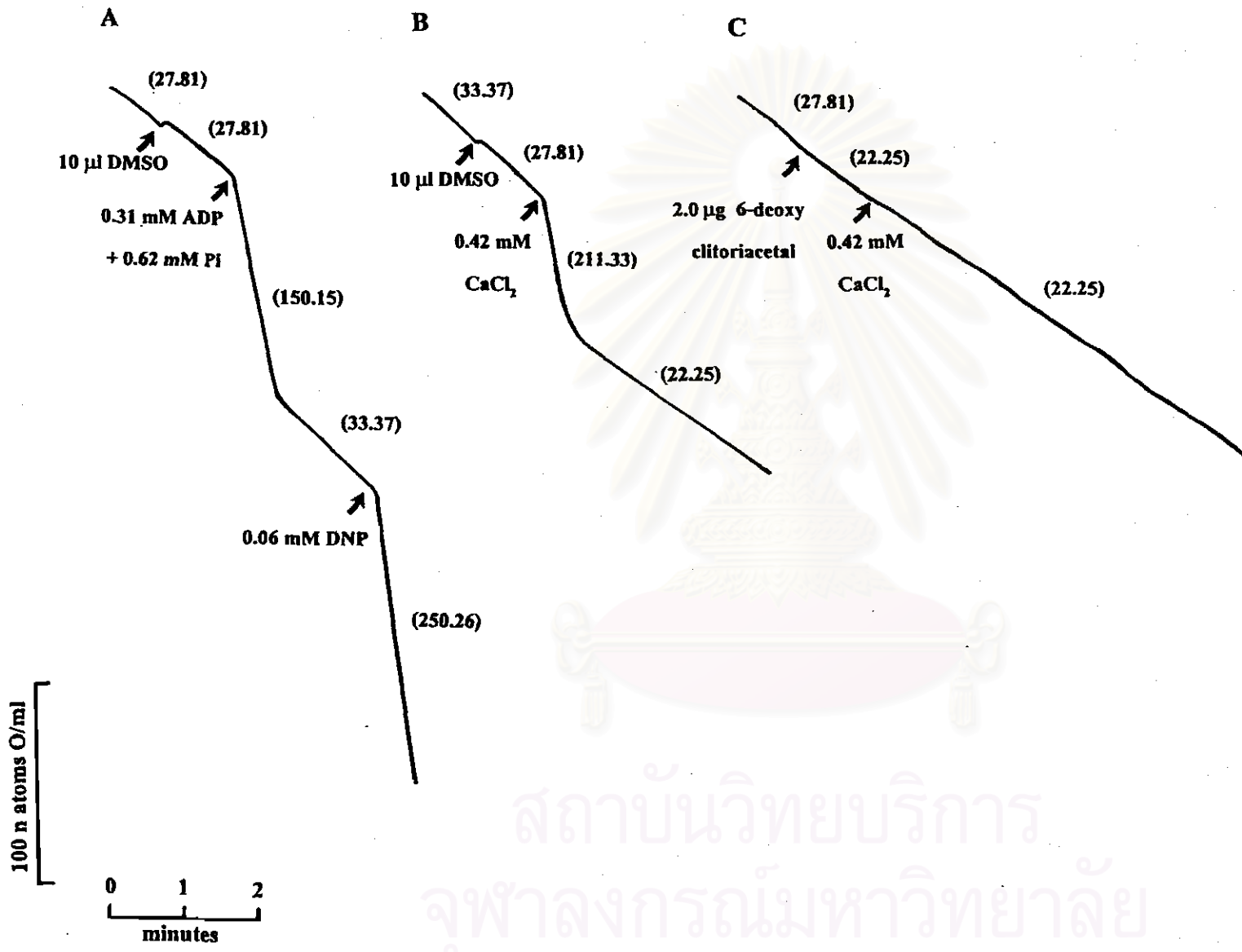
สถาบันวิทยบริการ  
จุฬาลงกรณ์มหาวิทยาลัย

รูปที่ 36 Tracing แสดงผลของ 6-deoxycltioriacetal ในขนาด 2.0  $\mu\text{g}$  ต่อการกระตุ้นการหายใจของไมโทคอนเดรียด้วยแคลเซียม (calcium-stimulated respiration) เมื่อใช้ glutamate + malate เป็นตัวตั้งตรง

ส่วนประกอบของปฏิกิริยา : 37.50 mM HEPES buffer, 1.88 mM  $\text{MgCl}_2$ , 86.25 mM KCl, 5.21 mM potassium glutamate + 5.21 mM potassium malate, 0.94 mM potassium phosphate, 13.02 mM sucrose และไมโทคอนเดรีย 2.04 mg protein/ml. ส่วนประกอบที่เติมตามลงไปอีกคือ 0.42 mM  $\text{CaCl}_2$  และ 6-deoxycltioriacetal ขนาด 2.0  $\mu\text{g}$  ส่วนในกลุ่มควบคุมใช้ DMSO 10  $\mu\text{l}$ . ปริมาตรทั้งหมด 1.92 ml. อุณหภูมิ 37 °C

อัตราการใช้ออกซิเจนของไมโทคอนเดรียในระยะต่าง ๆ แสดงเป็นตัวเลขในวงเล็บคำนวณออกมามีหน่วยเป็นจำนวน  $n \text{ atoms O/ml/min}$

สถาบันวิทยบริการ  
จุฬาลงกรณ์มหาวิทยาลัย



สถาบันวิทยบริการ  
จุฬาลงกรณ์มหาวิทยาลัย

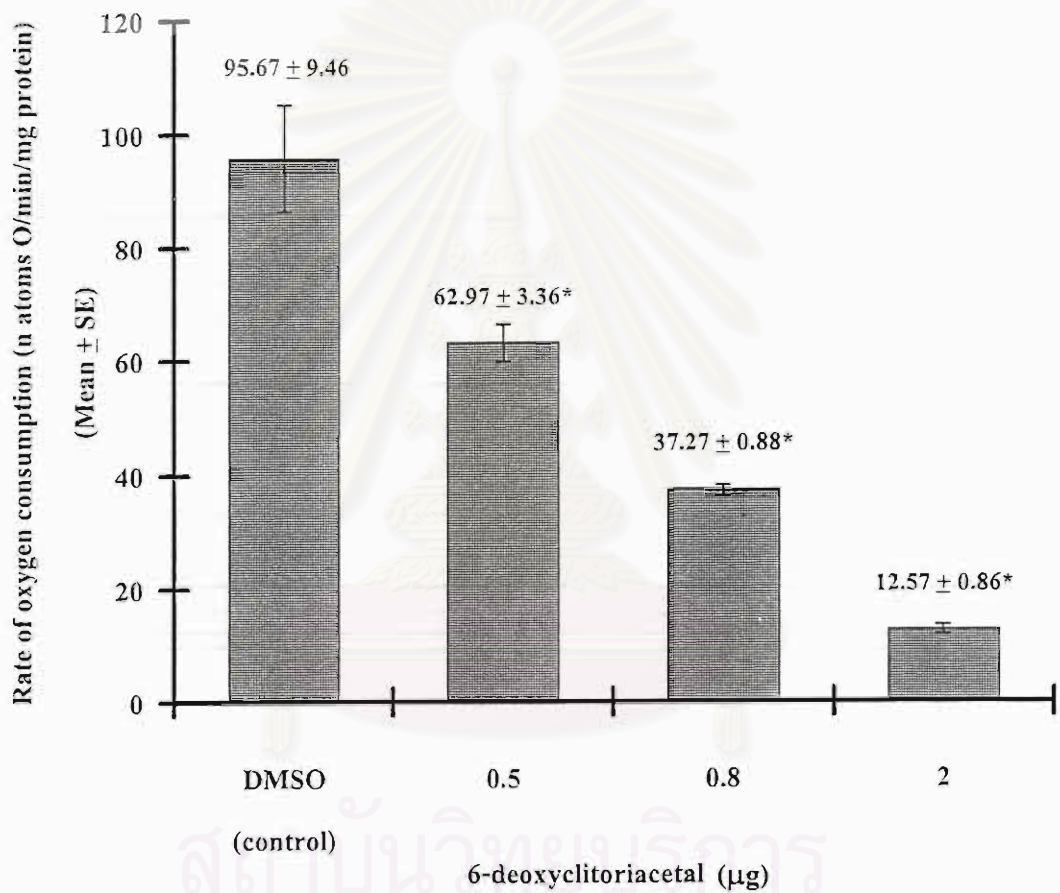
รูปที่ 37 กราฟแสดงผลของ 6-deoxylltoriacetal ในขนาด 0.5, 0.8 และ 2.0  $\mu\text{g}$  ต่อการกระตุ้นการหายใจของไมโทคอนเดรียด้วยแคลเซียม (calcium-stimulated respiration) เมื่อใช้ glutamate + malate เป็นตัวสเตรท

ส่วนประกอบของปฏิกิริยา : 37.50 mM HEPES buffer, 1.88 mM  $\text{MgCl}_2$ , 86.25 mM KCl, 5.21 mM potassium glutamate + 5.21 mM potassium malate, 0.94 mM potassium phosphate, 13.02 mM sucrose และไมโทคอนเดรียเฉลี่ย 2.01 mg protein/ml. ส่วนประกอบที่เติมตามลงไปอีกคือ 0.42 mM  $\text{CaCl}_2$  และ 6-deoxylltoriacetal ขนาด 2.0  $\mu\text{g}$  ส่วนในกลุ่มควบคุมใช้ DMSO 10  $\mu\text{l}$ . ปริมาตรทั้งหมด 1.92 ml. อุณหภูมิ 37  $^{\circ}\text{C}$

แต่ละจุดที่แสดงแทนค่าเฉลี่ย  $\pm$  ความคลาดเคลื่อนมาตรฐานของค่าเฉลี่ยจาก 4 การทดลอง

n = 4 (\*) p < 0.05 เมื่อเปรียบเทียบกับ control

สถาบันวิทยบริการ  
จุฬาลงกรณ์มหาวิทยาลัย

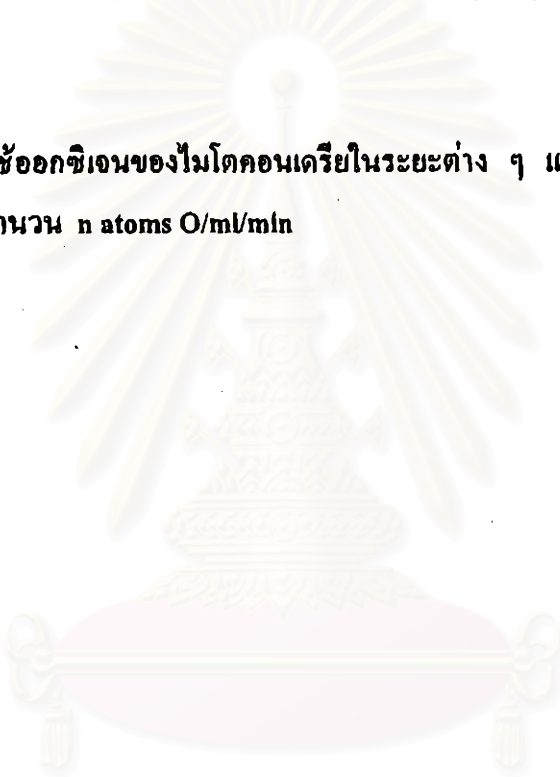


สถาบันวิจัยบริการ  
จุฬาลงกรณ์มหาวิทยาลัย

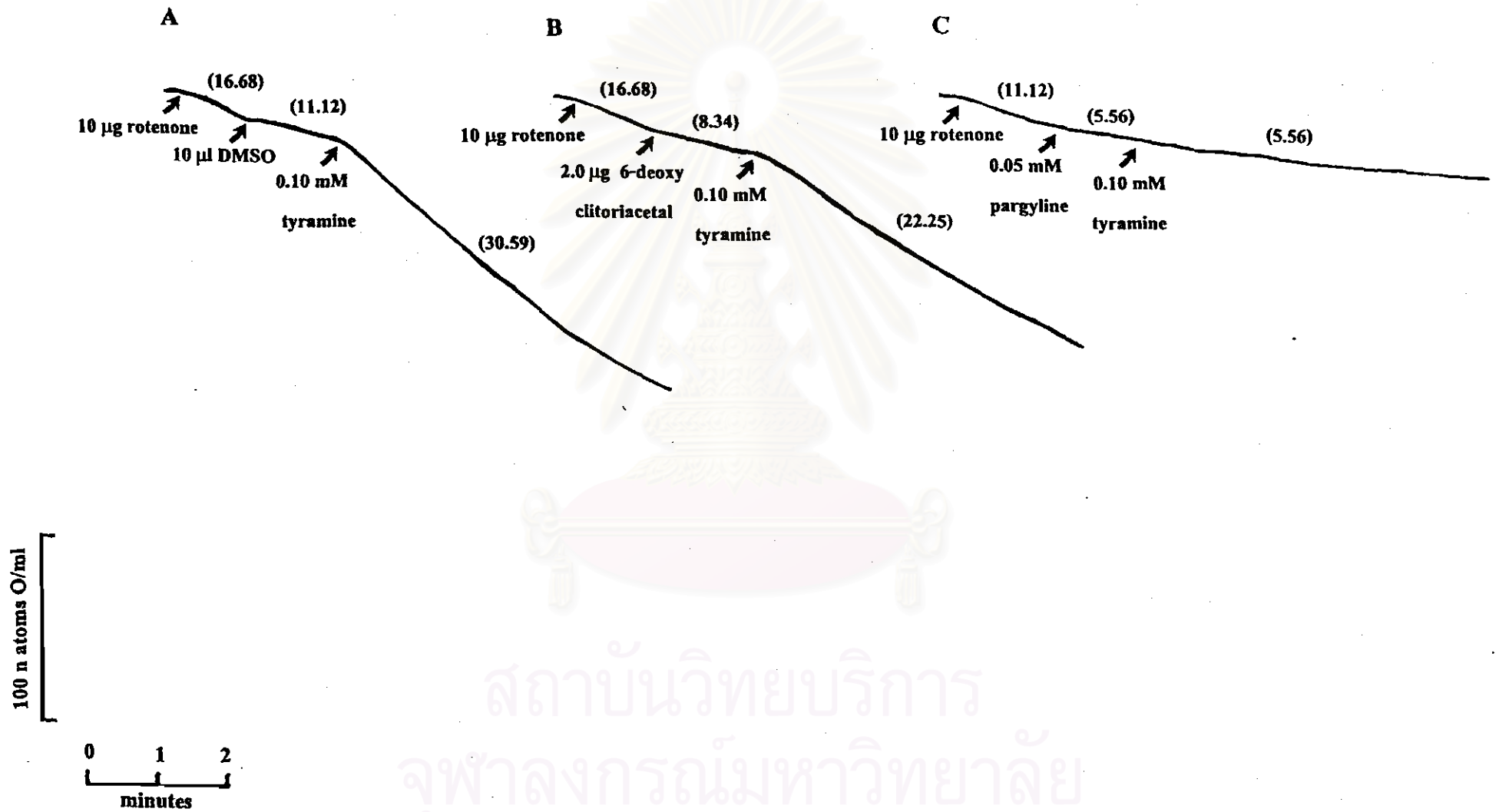
รูปที่ 38 Tracing แสดงผลของ 6-deoxyclitriacetal ขนาด 2.0  $\mu\text{g}$  ที่มีผลต่อ monoamine oxidase activity ของไมโทคอนเดรีย

ส่วนประกอบของปฏิกิริยา : 0.023 M  $\text{KH}_2\text{PO}_4$ , pH 7.2, 13.02 mM sucrose, 10  $\mu\text{g}$  rotenone และไมโทคอนเดรีย 4.72 mg protein/ml. ส่วนประกอบที่เติมตามลงไปอีกดังแสดงในรูปคือ 0.10 mM tyramine, 0.05 mM pargyline, และ 6-deoxyclitriacetal ขนาด 2.0  $\mu\text{g}$  ส่วนในกลุ่มควบคุมใช้ DMSO 10  $\mu\text{l}$ . ปริมาตรทั้งหมด 1.92 ml. อุณหภูมิ 37  $^{\circ}\text{C}$

อัตราการใช้ออกซิเจนของไมโทคอนเดรียในระยะต่าง ๆ แสดงเป็นตัวเลขในวงเล็บคำนวณออกมามีหน่วยเป็นจำนวน n atoms O/ml/min



สถาบันวิทยบริการ  
จุฬาลงกรณ์มหาวิทยาลัย



สถาบันวิทยบริการ  
 จุฬาลงกรณ์มหาวิทยาลัย

รูปที่ 39 กราฟแสดงผลของ 6-deoxyclitoriacetal ขนาด 2.0, 5.0  $\mu\text{g}$  ที่มีผลต่อ monoamine oxidase activity ของไมโทคอนเดรีย โดยใช้ tyramine เป็นตัวตั้งตรง

ส่วนประกอบของปฏิกิริยา : 0.023 M  $\text{KH}_2\text{PO}_4$ , pH 7.2, 13.02 mM sucrose, 10  $\mu\text{g}$  rotenone และไมโทคอนเดรียเฉลี่ย 4.11 mg protein/ml. ส่วนประกอบที่เติมตามลงไปอีกดังแสดงในรูปคือ 0.10 mM tyramine, 0.05 mM pargyline และ 6-deoxyclitoriacetal ขนาด 2.0, 5.0  $\mu\text{g}$  ส่วนในกลุ่มควบคุมใช้ DMSO 10  $\mu\text{l}$ . ปริมาตรทั้งหมด 1.92 ml. อุณหภูมิ 37  $^{\circ}\text{C}$

แต่ละจุดที่แสดงแทนค่าเฉลี่ย  $\pm$  ความคลาดเคลื่อนมาตรฐานของค่าเฉลี่ยจาก 4 การทดลอง

n = 4 (\*)  $p < 0.05$  เมื่อเปรียบเทียบกับ control

สถาบันวิทยบริการ  
จุฬาลงกรณ์มหาวิทยาลัย

